

UNIVERSITÉ DE STRASBOURG
FACULTÉ DE MÉDECINE, MAÏEUTIQUE ET SCIENCES DE LA SANTÉ

ANNÉE : 2025

N° : 217

THÈSE
PRÉSENTÉE POUR LE DIPLÔME D'ÉTAT
DE DOCTEUR EN MÉDECINE

Diplôme d'État

Mention Anesthésie-Réanimation

PAR

Eléna Cathy BRUCKER

Née le 13 mars 1995 à Ingwiller (67)

**ÉTUDE DE LA CINETIQUE DE LA PROTEINE S100 β LORS DE LA
SURVENUE ET DU TRAITEMENT D'UNE ISCHEMIE CEREBRALE
RETARDEE APRES UNE HEMORRAGIE SOUS ARACHNOÏDIENNE**

Président de thèse : **Professeur Julien POTTECHER**

Directeur de thèse : **Docteur Baptiste BALANÇA**

UNIVERSITÉ DE STRASBOURG
FACULTÉ DE MÉDECINE, MAÏEUTIQUE ET SCIENCES DE LA SANTÉ

ANNÉE : 2025

N° : 217

THÈSE
PRÉSENTÉE POUR LE DIPLÔME D'ÉTAT
DE DOCTEUR EN MÉDECINE

Diplôme d'État

Mention Anesthésie-Réanimation

PAR

Eléna Cathy BRUCKER

Née le 13 mars 1995 à Ingwiller (67)

**ÉTUDE DE LA CINETIQUE DE LA PROTEINE S100 β LORS DE LA
SURVENUE ET DU TRAITEMENT D'UNE ISCHEMIE CEREBRALE
RETARDEE APRES UNE HEMORRAGIE SOUS ARACHNOÏDIENNE**

Président de thèse : **Professeur Julien POTTECHER**

Directeur de thèse : **Docteur Baptiste BALANÇA**



FACULTÉ DE MÉDECINE, MÉDECINE ET SCIENCES DE LA SANTÉ

Edition MARS 2025
Année universitaire 2024-2025

- **Présidente de l'Université**
- **Doyen de la Faculté**
- **Première Vice Doyenne de la Faculté**
- **Doyens honoraires :** (1994-2001)
(2001-2011)
- **Chargé de mission auprès du Doyen**
- **Responsable Administratif**

- Mme BEIRROD Frédérique
- M. SIBILIA Jean
- Mme CHARLOUX Anne
- M. GERUNGER Pierre
- M. LUDES Bertrand
- M. VICENTE Gilbert
- M. STEEGMANN Geoffrey



HOPITAUX UNIVERSITAIRES
DE STRASBOURG (HUS)

Directeur général : M. HENNI Samir

A1 - PROFESSEUR TITULAIRE DU COLLEGE DE FRANCE

MANDEL Jean-Louis Chaire "Génétique humaine" (à compter du 01.11.2003)

A2 - MEMBRE SENIOR A L'INSTITUT UNIVERSITAIRE DE FRANCE (I.U.F.)

BAHRAM Séiamak Immunologie biologique
DOLLFUS Hélène Génétique clinique

A3 - PROFESSEUR(E)S DES UNIVERSITÉS - PRATICIENS HOSPITALIERS (PU-PH)

MN et Prénom	CS*	Services Hospitaliers ou Institut / Localisation	Seur-section du Conseil National des Universités
ADAM Philippe	NRPO CS	+ Pôle de l'Appareil locomoteur - Service d'Hospitalisation des Urgences de Traumatologie / HP	50.02 Chirurgie orthopédique et traumatologique
ADDEO Pietro	NRPO CS	+ Pôle des Pathologies digestives, hépatiques et de la transplantation - Serv. de chirurgie générale, hépatique et endocrinienne et Transplantation/HP	53.02 Chirurgie générale
AKLADIOU Cherif	NRPO CS	+ Pôle de Gynécologie-Obstétrique - Service de Gynécologie-Obstétrique / HP	54.03 Gynécologie-Obstétrique ; gynécologie médicale Option : Gynécologie-Obstétrique
ANDRES Emmanuel	RPB CS	+ Pôle de Médecine Interne, Rhumatologie, Nutrition, Endocrinologie, Diabétologie (MIRNED) - Service de Médecine Interne, Diabète et Maladies métaboliques/HC	53.01 Option : médecine interne
ANHEIM Mathieu	NRPO NCS	+ Pôle Tête et Cou-CETD - Service de Neurologie / Hôpital de Hautepierre	49.01 Neurologie
Mme ANTAL Maria Cristina	NRPO CS	+ Pôle de Biologie - Service de Pathologie / Hôpital de Hautepierre + Institut d'Histologie / Faculté de Médecine	42.02 Histologie, Embryologie et Cytogénétique (option biologique)
Mme ANTONI Delphine	NRPO	+ Pôle d'Imagerie - Service de Radiothérapie / ICANS	47.02 Cancérologie ; Radiothérapie
ARNAUD Laurent	NRPO NCS	+ Pôle MIRNED - Service de Rhumatologie / Hôpital de Hautepierre	50.01 Rhumatologie
BACHELLIER Philippe	BP0 CS	+ Pôle des Pathologies digestives, hépatiques et de la transplantation - Serv. de chirurgie générale, hépatique et endocrinienne et Transplantation/HP	53.02 Chirurgie générale
BAHRAM Selamak	NRPO CS	+ Pôle de Biologie - Laboratoire d'Immunologie biologique / Nouvel Hôpital Civil - Institut d'Hématologie et d'Immunologie / Hôpital Civil / Faculté	47.03 Immunologie (option biologique)
BAUMERT Thomas	NRPO CS	+ Pôle Hépato-digestif de l'Hôpital Civil - Institut de Recherche sur les Maladies virales et hépatiques/Fac	52.01 Gastro-entérologie ; hépatologie Option : hépatologie
Mme BEAU-FALLER Michèle	NRPO NCS	+ Pôle de Biologie - Laboratoire de Biochimie et de Biologie moléculaire / HP	44.03 Biologie cellulaire (option biologique)
BEAUME Rémy	NRPO CS	+ Pôle d'Imagerie - CME / Activités transversales + Unité de Neuroradiologie interventionnelle / Hôpital de Hautepierre	43.02 Radiologie et Imagerie médicale (option clinique)
BERNA Fabrice	NRPO CS	+ Pôle de Psychiatrie, Santé mentale et Addictologie - Service de Psychiatrie I / Hôpital Civil	49.03 Psychiatrie d'adultes ; Addictologie Option : Psychiatrie d'Adultes
BERTSCHY Gilles	BP0 CS	+ Pôle de Psychiatrie et de santé mentale - Service de Psychiatrie II / Hôpital Civil	49.03 Psychiatrie d'adultes
BIEBRY Guillaume	NRPO NCS	+ Pôle d'Imagerie - Service d'Imagerie II - Neuroradiologie-Imagerie ostéoarticulaire-Pédiatrie/HP	43.02 Radiologie et Imagerie médicale (option clinique)
BILBAULT Pascal	RP0 CS	+ Pôle d'Urgences / Réanimations médicales / CAP - Service des Urgences médico-chirurgicales Adultes / HP	48.02 Réanimation ; Médecine d'urgence Option : médecine d'urgence
BLANC Frédéric	NRPO NCS	+ Pôle de Gériatrie - Service Evaluation - Gériatrie - Hôpital de la Robertsau	53.01 Médecine interne ; addictologie Option : gériatrie et biologie du vieillissement
BODIN Frédéric	NRPO NCS	+ Pôle de Chirurgie Maxillo-faciale, morphologie et Dermatologie - Service de Chirurgie Plastique et maxillo-faciale / Hôpital Civil	50.04 Chirurgie Plastique, Reconstrucrice et Esthétique ; Oralologie
BONNEMAINS Laurent	NRPO NCS	+ Pôle médico-chirurgical de Pédiatrie - Service de Pédiatrie 1 - Hôpital de Hautepierre	54.01 Pédiatrie
BONNOMET François	NRPO CS	+ Pôle de l'Appareil locomoteur - Service d'Orthopédie-Traumatologie du Membre inférieur / HP	50.02 Chirurgie orthopédique et traumatologique
BOURCIER Tristan	NRPO NCS	+ Pôle de Spécialités médicales-Ophthalmologie / SM0 - Service d'Ophthalmologie / Nouvel Hôpital Civil	55.02 Ophthalmologie

NOM et Prénom	CS*	Services Hospitaliers ou Institut / Localisation	Sous-section du Conseil National des Universités
BOURGIN Patrice	NRB6	• Pôle Tête et Cou - CETD	49.01 Neurologie
	CS	- Service de Neurologie - Unité du Sommeil / Hôpital Civil	
Mme BRIGAND Cécile	NRB6	• Pôle des Pathologies digestives, hépatiques et de la transplantation	53.02 Chirurgie générale
	NCS	- Service de Chirurgie générale et Digestive / HP	
Mme CAILLARD-OHLMANN Sophie	NRB6	• Pôle de spécialités médicales- Ophtalmologie / SMD	52.03 Néphrologie
	NCS	- Service de Néphrologie-Dialyse et Transplantation / NHC	
CARAPITO Raphaël	NRB6	• Pôle de spécialités médicales - Ophtalmologie / SMD	47.03 Immunologie
	NCS	- Laboratoire d'Immunologie Biologique / NHC	
CASTELAIN Vincent	NRB6	• Pôle Urgences - Réanimations médicales / Centre antipoison	48.02 Réanimation
	NCS	- Service de Réanimation médicale / Hôpital de Hauteville	
Mme CEBULA Hélène	NRB6	• Pôle Tête-Cou	49.02 Neurochirurgie
	NCS	- Service de Neurochirurgie / HP	
CHAKFE Nabil	NRB6	• Pôle d'activité médico-chirurgicale Cardio-vasculaire	51.04 Chirurgie vasculaire ; médecine vasculaire
	CS	- Serv. de Chirurgie vasculaire et de transplantation rénale / NHC	Option : chirurgie vasculaire
CHARLES Yann-Philippe	NRB6	• Pôle de l'Appareil locomoteur	50.02 Chirurgie orthopédique et traumatologique
	NCS	- Service de Chirurgie du rachis / Chirurgie B / HC	
Mme CHARLOUX Anne	NRB6	• Pôle de Pathologie thoracique	44.02 Physiologie (option biologique)
	NCS	- Service de Physiologie et d'Explorations fonctionnelles / NHC	
Mme CHARIOT Anne	NRB6	• Pôle Tête et cou - CETD	55.01 oto-rhino-laryngologie
	NCS	- serv. d'oto-rhino-laryngologie et de chirurgie cervico-faciale / HP	
Mme CHENARD-NEU Marie-Pierre	NRB6	• Pôle de Biologie	42.03 Anatomie et cytologie pathologiques (option biologique)
	CS	- Service de Pathologie / Hôpital de Hauteville	
CLAVERT Philippe	NRB6	• Pôle de l'Appareil locomoteur	42.01 Anatomie (option clinique, orthopédie traumatologique)
	CS	- Service d'Orthopédie-Traumatologie du Membre supérieur / HP	
COLLANGE Olivier	NRB6	• Pôle d'Anesthésie / Réanimations chirurgicales / SAMU-SMUR	48.01 Anesthésiologie-Réanimation ; Méd. d'urgence (opt. Anesthésiologie-Réanimation - Type clinique)
	NCS	- Service d'Anesthésiologie-Réanimation Chirurgicale / NHC	
COLLONGUES Nicolas	NRB6	• Pôle Tête et Cou-CETD	49.01 Neurologie
	NCS	- Centre d'Investigation Clinique / NHC et HP	
CRIBIER Bernard	NRB6	• Pôle d'Urologie, Morphologie et Dermatologie	50.03 Dermato-Vénérologie
	CS	- Service de Dermatologie / Hôpital Civil	
de SEZE Jérôme	NRB6	• Pôle Tête et cou - CETD	49.01 Neurologie
	CS	- Centre d'Investigation Clinique (ICO - AXS / Hôpital de Hauteville	
DEBRY Christian	RP6	• Pôle Tête et cou - CETD	55.01 oto-rhino-laryngologie
	CS	- Serv. d'oto-rhino-laryngologie et de chirurgie cervico-faciale / HP	
Mme DISSAUX Caroline	NRB6	• Pôle de chirurgie plastique reconstructrice et esthétique, Chirurgie maxillo-faciale, Morphologie et dermatologie	55.03 chirurgie maxille-faciale et stomatologie
	NCS	- Service de Chirurgie Plastique et Maxille-faciale / Hôpital de Hauteville	
Mme DOLLFUS-HALTSMANN Isabelle	NRB6	• Pôle de Biologie	47.04 Génétique (type clinique)
	CS	- Service de Génétique Médicale / Hôpital de Hauteville	
EHLINGER Mathieu	NRB6	• Pôle de l'Appareil Locomoteur	50.02 Chirurgie Orthopédique et Traumatologique
	NCS	- Service d'Orthopédie-Traumatologie du membre inférieur / HP	
Mme ENTZ-WERLE Natacha	NRB6	• Pôle médico-chirurgical de Pédiatrie	54.01 Pédiatrie
	NCS	- Service de Pédiatrie III / Hôpital de Hauteville	
Mme FACCÀ Sybille	NRB6	• Pôle de l'Appareil locomoteur	50.02 Chirurgie orthopédique et traumatologique
	CS	- Service de Chirurgie de la Main - SOS Main / Hôpital de Hauteville	
Mme FAIFI-KREMER Samira	NRB6	• Pôle de Biologie	45.01 Bactériologie-Virologie ; Hygiène hospitalière Option Bactériologie-Virologie biologique
	CS	- Laboratoire (Institut) de Virologie / PTM HUS et Faculté	
FAITOT François	NRB6	• Pôle de Pathologie digestives, hépatiques et de la transplantation	53.02 Chirurgie générale
	NCS	- Serv. de chirurgie générale, hépatique et endocrinienne et transplantation / HP	
FALCOZ Pierre-Emmanuel	NRB6	• Pôle de Pathologie thoracique	51.03 Chirurgie thoracique et cardio-vasculaire
	NCS	- Service de Chirurgie Thoracique / Nouvel Hôpital civil	
FORNECKER Luc-Matthieu	NRB6	• Pôle d'Onco-Hématologie	47.01 Hématologie ; Transfusion Option : Hématologie
	NCS	- Service d'hématologie / ICANS	
FOUCHER Jack	NRB6	• Pôle de Psychiatrie et de santé mentale	49.03 Psychiatrie d'adultes
	NCS	- Service de Psychiatrie I / Hôpital Civil	
Mme GALLI Elena	NRB6	• Pôle d'activité médico-chirurgicale Cardio-vasculaire	51.02 Cardiologie
	NCS	- Service de Cardiologie / Nouvel Hôpital Civil	
GALLIX Benoit	NCS	• IHU - Institut Hospitalo-Universitaire - Hôpital Civil	43.02 Radiologie et imagerie médicale
GANGI Afshin	RP6	• Pôle d'imagerie	43.02 Radiologie et imagerie médicale (option clinique)
	CS	- Service d'imagerie A interventionnelle / Nouvel Hôpital civil	
GAUCHER David	NRB6	• Pôle des Spécialités Médicales - Ophtalmologie / SMD	55.02 Ophtalmologie
	NCS	- Service d'Ophtalmologie / Nouvel Hôpital Civil	
GENY Bernard	NRB6	• Pôle de Pathologie thoracique	44.02 Physiologie (option biologique)
	CS	- Service de Physiologie et d'Explorations fonctionnelles / NHC	
GICQUEL Philippe	NRB6	• Pôle médico-chirurgical de Pédiatrie	54.02 Chirurgie infantile
	CS	- Service de Chirurgie Pédiatrique / Hôpital de Hauteville	
Mme GONZALEZ Maria	NRB6	• Pôle de Santé publique et santé au travail	46.02 Médecine et santé au travail
	CS	- Service de Pathologie Professionnelle et Médecine du Travail/HC	
GOTTENBERG Jacques-Eric	NRB6	• Pôle de Médecine Interne, Rhumatologie, Nutrition, Endocrinologie, Diabétologie (MINED)	50.01 Rhumatologie
	CS	- Service de Rhumatologie / Hôpital Hauteville	
HANSMANN Yves	RP6	• Pôle de spécialités médicales - Ophtalmologie / SMD	45.03 option : Maladies infectieuses
	NCS	- Service des Maladies Infectieuses et tropicales / NHC	

NOM et Prénom	CS*	Services Hospitaliers ou Institut / Localisation	Sous-section du Conseil National des Universités
Mme HELMS Julie	MRP6	• Pôle Urgences - Réanimations médicales / Centre antipoison	48.02 Médecine Intensive-Réanimation
	NCS	- Service de Réanimation Médicale / Nouvel Hôpital Civil	
HIRSCH Edouard	MRP6	• Pôle Tête et Cou - CETD	49.01 Neurologie
	NCS	- Service de Neurologie / Hôpital de Hauteville	
IMPERIALE Alessia	MRP6	• Pôle d'Imagerie	43.01 Biophysique et médecine nucléaire
	NCS	- Service de Médecine Nucléaire et Imagerie Moléculaire / ICANS	
ISNER-HOROBETI Marie-Eva	RP6	• Pôle de Médecine Physique et de Réadaptation	49.05 Médecine Physique et Réadaptation
	CS	- Institut Universitaire de Réadaptation / Clémenceau	
JAULHAC Benoît	MRP6	• Pôle de Biologie	45.01 Option : Bactériologie-virologie (biologique)
	CS	- Institut (Laboratoire) de Bactériologie / PTM HUS et Faculté	
Mme JEANDIER Nathalie	MRP6	• Pôle de Médecine Interne, Rhumatologie, Nutrition, Endocrinologie, Diabétologie (MRNED)	54.04 Endocrinologie, diabète et maladies métaboliques
	CS	- service d'Endocrinologie, diabète et nutrition / HC	
Mme JESEL-MOREL Laurence	MRP6	• Pôle d'activité médico-chirurgicale Cardio-vasculaire	53.02 Cardiologie
	NCS	- Service de Cardiologie / Nouvel Hôpital Civil	
KALTENBACH Georges	RP6	• Pôle de Gérontologie	53.01 Option : gérontologie et biologie du vieillissement
	CS	- Service de Médecine Interne - Gérontologie / Hôpital de la Robertsau	
		- Secteur Evaluation - Gérontologie / Hôpital de la Robertsau	
Mme KESSLER Laurence	MRP6	• Pôle de Médecine Interne, Rhumatologie, Nutrition, Endocrinologie, Diabétologie (MRNED)	54.04 Endocrinologie, diabète et maladies métaboliques
	NCS	- Service d'Endocrinologie, Diabète, Nutrition et Addictologie/ Méd. B / HC	
KESSLER Romain	MRP6	• Pôle de Pathologie thoracique	51.01 Pneumologie
	NCS	- Service de Pneumologie / Nouvel Hôpital Civil	
KINDO Michel	MRP6	• Pôle d'activité médico-chirurgicale cardio-vasculaire	51.03 chirurgie thoracique et cardio-vasculaire
	NCS	- Service de Chirurgie Cardio-vasculaire / Nouvel Hôpital Civil	
Mme KORGANOË Anne-Sophie	MRP6	• Pôle de spécialités médicales - ophtalmologie / SMO	47.03 Immunologie (option clinique)
	CS	- Service de Médecine Interne et d'Immunologie Clinique / NHC	
KREMER Stéphane	MRP6	• Pôle d'Imagerie	43.02 Radiologie et imagerie médicale (option clinique)
	CS	- Service Imagerie II - Neuroradio Ostéoarticulaire - Pédiatrie / HP	
KUHN Pierre	MRP6	• Pôle médico-chirurgical de Pédiatrie	54.01 Pédiatrie
	CS	- Service de Pédiatrie et Réanimation néonatale (Pédiatrie II)/HP	
KURTZ Jean-Emmanuel	RP6	• Pôle d'Onco-Hématologie	47.02 Option : Cancérologie (clinique)
	NCS	- Service d'hématologie / ICANS	
Mme LALANNE Laurence	MRP6	• Pôle de Psychiatrie, Santé mentale et Addictologie	49.03 Psychiatrie d'adultes ; Addictologie (Option : Addictologie)
	CS	- Service d'Addictologie / Hôpital Civil	
LANG Hervé	MRP6	• Pôle de Chirurgie plastique reconstructrice et esthétique, Chirurgie maxillo-faciale, Morphologie et Dermatologie	52.04 Urologie
	NCS	- Service de Chirurgie Urologique / Nouvel Hôpital Civil	
LAUGEL Vincent	RP6	• Pôle médico-chirurgical de Pédiatrie	54.01 Pédiatrie
	CS	- Service de Pédiatrie I / Hôpital de Hauteville	
Mme LEJAY Anne	MRP6	• Pôle d'activité médico-chirurgicale cardiovasculaire	51.04 Option : chirurgie vasculaire
	NCS	- Service de Chirurgie vasculaire et de Transplantation rénale / NHC	
LE MINOR Jean-Marie	MRP6	• Pôle d'Imagerie	42.01 Anatomie
	NCS	- Institut d'Anatomie normale / Faculté de Médecine	
		- Service de Neuroradiologie, d'imagerie ostéoarticulaire et interventionnelle/HP	
LESSINGER Jean-Marc	RP6	• Pôle de Biologie	82.00 Sciences Biologiques de Pharmacie
	CS	- Laboratoire de Biochimie générale et spécialisée / Laus / NHC	
		- Laboratoire de Biochimie et de Biologie moléculaire / Hauteville	
LIPSKER Dan	MRP6	• Pôle de Chirurgie plastique reconstructrice et esthétique, Chirurgie maxillo-faciale, Morphologie et Dermatologie	50.03 Dermato-vénérologie
	NCS	- Service de Dermatologie / Hôpital Civil	
LIVERNEAUX Philippe	RP6	• Pôle de l'Appareil locomoteur	50.02 chirurgie orthopédique et traumatologique
	NCS	- Service de Chirurgie de la Main - SOS Main / Hôpital de Hauteville	
MALOUF Gabriel	MRP6	• Pôle d'Onco-hématologie	47.02 Cancérologie ; Radiothérapie
	NCS	- Service d'Oncologie médicale / ICANS	Option : Cancérologie
MARTIN Thierry	MRP6	• Pôle de spécialités médicales - Ophtalmologie / SMO	47.03 Immunologie (option clinique)
	NCS	- Service de Médecine Interne et d'Immunologie Clinique / NHC	
Mme MASCAUX Céline	MRP6	• Pôle de Pathologie thoracique	51.01 Pneumologie ; Addictologie
	NCS	- Service de Pneumologie / Nouvel Hôpital Civil	
Mme MATHELIN Carole	MRP6	• Pôle de Gynécologie-obstétrique	54.03 Gynécologie-obstétrique ; Gynécologie Médicale
	CS	- Unité de Sénologie / ICANS	
MAUVIEUX Laurent	MRP6	• Pôle d'Onco-Hématologie	47.01 Hématologie ; Transfusion
	CS	- Laboratoire d'Hématologie Biologique - Hôpital de Hauteville	Option Hématologie Biologique
		- Institut d'Hématologie / Faculté de Médecine	
MENARD Didier	MRP6	• Pôle de Biologie	45.02 Parasitologie et mycologie (option biologique)
	NCS	- Laboratoire de Parasitologie et de Mycologie médicale/PTM HUS	
MERTES Paul-Michel	RP6	• Pôle d'Anesthésiologie / Réanimations chirurgicales / SAMU-SMUR	48.01 Option : Anesthésiologie-Réanimation (Type mixte)
	CS	- Service d'Anesthésiologie-Réanimation chirurgicale / NHC	
MEYER Alain	MRP6	• Institut de Physiologie / Faculté de Médecine	44.02 Physiologie (option biologique)
	NCS	- Pôle de Pathologie thoracique	
		- Service de Physiologie et d'Explorations fonctionnelles / NHC	

Nom et Prénom	CS*	Services Hospitaliers ou Institut / Localisation	Sous-section du Conseil National des Universités
MEYER Nicolas	MRP6	• Pôle de Santé publique et Santé au travail	46.04 Biostatistiques, Informatique Médicale et
	NCS	- Laboratoire de Biostatistiques / Hôpital Civil • Biostatistiques et Informatique / Faculté de médecine / Hôpital Civil	Technologies de Communication (option biologique)
MEZIANI Ferhat	MRP6	• Pôle Urgences - Réanimations médicales / Centre antipoison	48.02 Réanimation
	CS	- Service de Réanimation Médicale / Nouvel Hôpital Civil	
MONASSIER Laurent	MRP6	• Pôle de Pharmacie-pharmacologie	48.03 Option : Pharmacologie fondamentale
	CS	- Labo. de Neurobiologie et Pharmacologie cardio-vasculaire- EA7295/ Fac	
MOREL Olivier	MRP6	• Pôle d'activité médico-chirurgicale cardio-vasculaire	51.02 Cardiologie
	NCS	- Service de Cardiologie / Nouvel Hôpital Civil	
MUTTER Didier	RPB	• Pôle Hépato-digestif de l'Hôpital Civil	52.02 Chirurgie digestive
	NCS	- Service de Chirurgie Viscérale et digestive / NHC	
NAMER Izelle Jacques	MRP6	• Pôle d'imagerie	43.01 Biophysique et médecine nucléaire
	CS	- Service de Médecine Nucléaire et Imagerie Moléculaire / ICANS	
NOEL Georges	MRP6	• Pôle d'imagerie	47.02 Cancérologie ; Radiothérapie
	NCS	- Service de radiothérapie / ICANS	Option Radiothérapie biologique
NOLL Eric	MRP6	• Pôle d'Anesthésie Réanimation Chirurgicale SAMU-SMUR	48.01 Anesthésiologie-Réanimation
	NCS	- Service Anesthésiologie et de Réanimation Chirurgicale - HP	
OHANA Michael	MRP6	• Pôle d'imagerie	43.02 Radiologie et Imagerie médicale
	NCS	- Service d'Imagerie B - Imagerie viscérale et cardio-vasculaire / NHC	(option clinique)
OHLMANN Patrick	RPB	• Pôle d'activité médico-chirurgicale cardio-vasculaire	51.02 Cardiologie
	CS	- Service de Cardiologie / Nouvel Hôpital civil	
Mme OLLAND Anne	MRP6	• Pôle de Pathologie Thoracique	51.03 Chirurgie thoracique et cardio-vasculaire
	NCS	- Service de Chirurgie thoracique / Nouvel Hôpital civil	
Mme PAULLARD Catherine	MRP6	• Pôle médico-chirurgicale de Pédiatrie	54.01 Pédiatrie
	CS	- Service de Pédiatrie III / Hôpital de Hautepierre	
PELACCAZ Thierry	MRP6	• Pôle d'Anesthésie / Réanimation chirurgicales / SAMU-SMUR	48.05 Réanimation ; Médecine d'urgence
	NCS	- Centre de formation et de recherche en pédagogie des sciences de la santé/ Faculté	Option : Médecine d'urgences
Mme PERRETTA Silvana	MRP6	• Pôle Hépato-digestif de l'Hôpital Civil	52.02 Chirurgie digestive
	NCS	- Service de Chirurgie Viscérale et Digestive / Nouvel Hôpital Civil	
PESSAUX Patrick	MRP6	• Pôle des Pathologies digestives, hépatiques et de la transplantation	52.02 Chirurgie digestive
	CS	- Service de Chirurgie Viscérale et Digestive / Nouvel Hôpital Civil	
PETIT Thierry	CDD	• ICANS	47.02 Cancérologie ; radiothérapie
		- Département de médecine oncologique	Option : Cancérologie clinique
PIVOT Xavier	MRP6	• ICANS	47.02 Cancérologie ; radiothérapie
	NCS	- Département de médecine oncologique	Option : Cancérologie clinique
POTTECHER Julien	MRP6	• Pôle d'Anesthésie / Réanimations chirurgicales / SAMU-SMUR	48.01 Anesthésiologie-réanimation ;
	CS	- Service d'Anesthésie et de Réanimation chirurgicale / Hautepierre	Médecine d'urgence (option clinique)
PRADIGNAC Alain	MRP6	• Pôle de Médecine Interne, Rhumatologie, Nutrition, Endocrinologie,	44.04 Nutrition
	NCS	Diabétiologie (MRINED)	
PROUST François	MRP6	• Service de Médecine interne et nutrition / Hôpital de Hautepierre	
	CS	- Service de Neurochirurgie / Hôpital de Hautepierre	
RAUL Jean-Sébastien	MRP6	• Pôle de Biologie	46.03 Médecine Légale et droit de la santé
	CS	- Service de Médecine Légale, Consultation d'Urgences médico-judiciaires et Laboratoire de Toxicologie / Faculté et NHC	
REIMUND Jean-Marie	MRP6	• Pôle des Pathologies digestives, hépatiques et de la transplantation	52.01 Option : Gastro-entérologie
	NCS	- Service d'Hépato-Gastro-Entérologie et d'Assistance Nutritionnelle / HP	
RICCI Roméo	MRP6	• Pôle de Biologie	44.01 Biochimie et biologie moléculaire
	NCS	- Département Biologie du développement et cellules souches / IGBMC	
ROHR Serge	MRP6	• Pôle des Pathologies digestives, hépatiques et de la transplantation	53.02 Chirurgie générale
	CS	- Service de Chirurgie générale et Digestive / HP	
ROMAIN Benoit	MRP6	• Pôle des Pathologies digestives, hépatiques et de la transplantation	53.02 Chirurgie générale
	NCS	- Service de Chirurgie générale et Digestive / HP	
Mme ROSSIGNOL-BERNARD Sylvie	MRP6	• Pôle médico-chirurgical de Pédiatrie	54.01 Pédiatrie
	NCS	- Service de Pédiatrie I / Hôpital de Hautepierre	
Mme ROY Catherine	MRP6	• Pôle d'imagerie	43.02 Radiologie et Imagerie médicale (opt. clinique)
	CS	- Service d'Imagerie B - Imagerie viscérale et cardio-vasculaire / NHC	
SAUER Arnaud	MRP6	• Pôle de Spécialités médicales - Ophtalmologie / SMO	55.02 Ophtalmologie
	NCS	- Service d'Ophtalmologie / Nouvel Hôpital Civil	
SAULEAU Erik-André	MRP6	• Pôle de Santé publique et Santé au travail	46.04 Biostatistiques, Informatique médicale et
	NCS	- Service de Santé Publique / Hôpital Civil	Technologies de Communication (option biologique)
SAUSSINE Christian	RPB	• Pôle d'Urologie, Morphologie et Dermatologie	52.04 Urologie
	CS	- Service de Chirurgie Urologique / Nouvel Hôpital Civil	
Mme SCHLUETH-BOLARD Caroline	MRP6	• Pôle de Biologie	47.04 Génétique (option biologique)
	NCS	- Laboratoire de Diagnostic Génétique / Nouvel Hôpital Civil	
Mme SCHRÖDER Carmen	MRP6	• Pôle de Psychiatrie et de santé mentale	49.04 Pédiopsychiatrie ; Addictologie
	CS	- Service de Psychothérapie pour Enfants et Adolescents / HC	
SCHULTZ Philippe	MRP6	• Pôle Tête et cou - CETO	55.01 Oto-rhino-laryngologie
	NCS	- Service d'oto-rhino-laryngologie et de chirurgie cervico-faciale / HP	

Nom et Prénom	CS*	Services Hospitaliers ou Institut / Localisation	Sous-section du Conseil National des Universités
SERFATY Lawrence	MRP6	+ Pôle des Pathologies digestives, hépatiques et de la transplantation	52.01 Gastro-entérologie ; Hépatologie ; Addictologie
	CS	- Service d'Hépato-Gastro-Entérologie et d'Assistance Nutritionnelle/H	Option : Hépatologie
SIBILIA Jean	MRP6	+ Pôle de Médecine Interne, Rhumatologie, Nutrition, Endocrinologie,	50.01 Rhumatologie
	NCS	- Diabétologie (MIRNED) / Service de Rhumatologie / Hôpital de Hauteville	
STEPHAN Dominique	MRP6	+ Pôle d'activité médico-chirurgicale Cardio-vasculaire	51.04 Option : Médecine vasculaire
	CS	- Service des Maladies vasculaires-HTA-Pharmacologie clinique/NHC	
TACQUARD Charles-Ambroise	MRP6	+ Pôle d'Anesthésie Réanimation Chirurgicale SAMU-SMUR	48.01 Anesthésiologie-Réanimation
	NCS	- Service Anesthésiologie et de Réanimation Chirurgicale - HP	
Mme TALON Isabelle	MRP6	+ Pôle médico-chirurgical de Pédiatrie	54.02 chirurgie infantile
	NCS	- Service de Chirurgie Pédiatrique / Hôpital de Hauteville	
TELETIN Marius	MRP6	+ Pôle de Biologie	54.05 Biologie et médecine du développement et de la reproduction (option biologique)
	NCS	- Service de Biologie de la reproduction / CHCO Schiltigheim	
Mme TRANCHANT Christine	MRP6	+ Pôle Tête et Cou - CETD	49.01 Neurologie
	CS	- Service de Neurologie / Hôpital de Hauteville	
VELTEN Michel	MRP6	+ Pôle de Santé publique et Santé au travail	46.01 Épidémiologie, économie de la santé et prévention (option biologique)
	NCS	- Département de Santé Publique / Secteur 3 - Épidémiologie et Economie de la Santé / Hôpital Civil	
VIDAILHET Pierre	MRP6	+ Laboratoire d'Épidémiologie et de santé publique / HC / Faculté	
	CS	- Pôle de Psychiatrie et de santé mentale	49.03 Psychiatrie d'adultes
VIVILLE Stéphane	MRP6	- Service de Psychiatrie d'Urgences, de liaison et de Psychotraumatologie / Hôpital civil	
	NCS	+ Pôle de Biologie	54.05 Biologie et médecine du développement et de la reproduction (option biologique)
VOGEL Thomas	MRP6	- Laboratoire de Parasitologie et de Pathologies tropicales / Faculté	
	CS	+ Pôle de Gérontologie	51.01 Option : Gérontologie et biologie du vieillissement
WEBER Jean-Christophe Pierre	MRP6	+ Pôle de spécialités médicales - Ophtalmologie / SMO	53.01 Option : Médecine interne
	CS	- Service de Médecine Interne / Nouvel Hôpital Civil	
Mme WOLFF Valérie	MRP6	+ Pôle Tête et Cou	49.01 Neurologie
	CS	- Unité Neurovasculaire / Hôpital de Hauteville	
Mme ZALOSZIC Ariane	MRP6	+ Pôle Médico-chirurgical de Pédiatrie	54.01 Pédiatrie
	NCS	- Service de Pédiatrie I / Hôpital de Hauteville	

HC : Hôpital Civil – HP : Hôpital de Hauteville – NHC : Nouvel Hôpital Civil – PTM = Plateau technique de microbiologie

* : CS (Chef de service) ou NCS (Non Chef de service hospitalier) - Cpl : Chef de service par intérim - Csp : Chef de service provisoire (un an)

CU : chef d'unité fonctionnelle

Pô : Pôle RPD (Responsable de pôle) ou MRP6 (Non Responsable de Pôle)

Cons. : Consultant hospitalier (poursuite des fonctions hospitalières sans chefferie de service)

Dir : Directeur

A4 – PROFESSEUR ASSOCIÉ DES UNIVERSITÉS

Nom et Prénoms	CS**	Services Hospitaliers ou Institut / Localisation	Sous-section du Conseil National des Universités
CALVEL Laurent	CS	+ Pôle spécialités médicales - ophtalmologie / SMO - Service de Soins palliatifs / NHC	46.05 Médecine palliative
COUTELLE Romain	NCS	+ Pôle de Psychiatrie et de santé mentale - Service Psychothérapeutique pour Enfants et Adolescents / HC	49.04 Pédiopsychiatrie ; Addictologie
HABERSETZER François	Adjoint	+ Pôle Hépato-digestif - Service de Gastro-Entérologie - NHC	52.02 Gastro-Entérologie
SALVAT Eric	CS	+ Pôle Tête-Cou - Centre d'évaluation et de Traitement de la Douleur / HP	49.04 Thérapie physique, Médecine de la douleur, Addictologie

B1 - MAITRES DE CONFÉRENCES DES UNIVERSITÉS - PRATICIENS HOSPITALIERS (MCU-PH)

NOM et Prénoms	CS*	Services Hospitaliers ou Institut / Localisation	Sous-section du Conseil National des Universités
AGIN Arnaud		- Pôle d'Imagerie - Service de Médecine nucléaire et Imagerie Moléculaire / ICANS	43.01 Biophysique et Médecine nucléaire
Mme AYME-DIETRICH Estelle		- Pôle de Pharmacologie - Unité de Pharmacologie clinique / Faculté de Médecine	45.03 Pharmacologie fondamentale ; pharmacologie clinique ; addictologie Option : pharmacologie fondamentale
BAHOUINE Thibault		- Pôle de Médecine Interne, Rhumatologie, Nutrition, Endocrinologie, Diabétologie (MRNED) - Service d'Endocrinologie, Diabète et Maladies métaboliques / HC	53.01 Option : médecine interne
BECKER Guillaume		- Pôle de Pharmacologie - Unité de Pharmacologie clinique / Faculté de Médecine	45.03 Pharmacologie fondamentale ; pharmacologie clinique ; addictologie
BENDHMANE Elies		- Pôle de spécialités médicales-Ophtalmologie / SMD - Service de Néphrologie-Transplantation / NHC	52.03 Néphrologie
Mme BIANCALANA Valérie		- Pôle de Biologie - Laboratoire de Diagnostic Génétique / Nouvel Hôpital Civil	47.04 Génétique (option biologique)
BIGAUT Kévin		- Pôle Tête et Cou - CETD - Service de Neurologie / Hôpital de Hautepierre	49.01 Neurologie
BLONDET Cyrille		- Pôle d'Imagerie - Service de Médecine nucléaire et Imagerie Moléculaire / ICANS	43.01 Biophysique et médecine nucléaire (option clinique)
Mme BOICHARD Amélie		- Pôle de Biologie - Laboratoire de Biochimie et de Biologie moléculaire / HP	44.01 Biochimie et biologie moléculaire
BOUSIGES Olivier		- Pôle de Biologie - Laboratoire de Biochimie et de Biologie moléculaire / HP	44.01 Biochimie et biologie moléculaire
BOYER Pierre		- Pôle de Biologie - Institut de Bactériologie / Faculté de Médecine	45.01 Bactériologie-Virologie ; Hygiène hospitalière Option Bactériologie-Virologie biologique
Mme BRU Valérie		- Pôle de Biologie - Laboratoire de Parasitologie et de Mycologie médicale/PTM HUS - Institut de Parasitologie / Faculté de Médecine	45.02 Parasitologie et mycologie (option biologique)
Mme BUND Caroline		- Pôle d'Imagerie - Service de médecine nucléaire et Imagerie moléculaire / ICANS	43.01 Biophysique et médecine nucléaire
CAZZATO Roberto		- Pôle d'Imagerie - Service d'Imagerie A Interventionnelle / NHC	43.02 Radiologie et Imagerie médicale (option clinique)
CERALINE Jocelyn		- Pôle de Biologie - Département de Biologie structurale intégrative / IGBMC	47.02 Cancérologie ; Radiothérapie (option biologique)
CHERRIER Thomas		- Pôle de Biologie - Laboratoire d'Immunologie biologique / Nouvel Hôpital Civil	47.03 Immunologie (option biologique)
CHOQUET Philippe		- Pôle d'Imagerie - UFS237 - Imagerie Préclinique / HP	43.01 Biophysique et médecine nucléaire
CLERE-JEHL Raphaël		- Pôle Urgences - Réanimations médicales / centre antipoison - Service de Réanimation médicale / Hôpital de Hautepierre	48.02 Réanimation
Mme CORDEAU Elena Mihaila		- Pôle d'activité médico-chirurgicale Cardio-vasculaire - Service des Maladies vasculaires-HTA-Pharmacologie clinique / NHC	53.04 Option : Médecine vasculaire
DAU-YOUSSEF Ahmed Nessim		- Pôle de Biologie - Laboratoire de Biochimie et Biologie moléculaire / NHC	44.01 Biochimie et biologie moléculaire
DANION François		- Pôle de spécialités médicales - Ophtalmologie / SMD - Service des Maladies infectieuses et tropicales / NHC	45.03 Option : Maladies infectieuses
DEVYS Didier		- Pôle de Biologie - Laboratoire de Diagnostic génétique / Nouvel Hôpital Civil	47.04 Génétique (option biologique)
Mme DINELACKER Véra		- Pôle Tête et Cou - CETD - Service de Neurologie / Hôpital de Hautepierre	49.01 Neurologie
DOLLÉ Pascal		- Pôle de Biologie - Laboratoire de Biochimie et biologie moléculaire / NHC	44.01 Biochimie et biologie moléculaire
Mme ENACHE Irina		- Pôle de Pathologie thoracique - Service de Physiologie et d'Explorations fonctionnelles / IGBMC	44.02 Physiologie
Mme FARRUGIA-JACAMON Audrey		- Pôle de Biologie - Service de Médecine Légale, Consultation d'Urgences médico-judiciaires et Laboratoire de Toxicologie / Faculté et HC - Institut de Médecine Légale / Faculté de Médecine	46.03 Médecine Légale et droit de la santé
FELTEN Renaud		- Pôle Tête et Cou - CETD - Centre d'Investigation Clinique (ICO - AXS / Hôpital de Hautepierre	48.04 Thérapeutique, Médecine de la douleur, Addictotologie
FILISSETI Denis	CS	- Pôle de Biologie - Labo. de Parasitologie et de Mycologie médicale / PTM HUS et Faculté	45.02 Parasitologie et mycologie (option biologique)
GANTNER Pierre		- Pôle de Biologie - Laboratoire (Institut) de Virologie / PTM HUS et Faculté	45.01 Bactériologie-Virologie ; Hygiène hospitalière Option Bactériologie-Virologie biologique
GIANNINI Margherita		- Pôle de Pathologie thoracique - Service de Physiologie et d'Explorations fonctionnelles / NHC	44.02 Physiologie (option biologique)
GIES Vincent		- Pôle de spécialités médicales - Ophtalmologie / SMD - Service de Médecine Interne et d'Immunologie Clinique / NHC	47.03 Immunologie (option clinique)
GRILLON Antoine		- Pôle de Biologie - Institut (Laboratoire) de Bactériologie / PTM HUS et Faculté	45.01 Option : Bactériologie-virologie (biologique)

NOM et Prénoms	CS ^a	Services Hospitaliers ou Institut / Localisation	Sous-section du Conseil National des Universités
GUERIN Eric		<ul style="list-style-type: none"> - pôle de Biologie - Laboratoire de Biochimie et de Biologie moléculaire / Hp 	44.03 Biologie cellulaire (option biologique)
GUFFROY Aurélien		<ul style="list-style-type: none"> - pôle de spécialités médicales - Ophtalmologie / SMD - Service de Médecine Interne et d'Immunologie clinique / NHC 	47.03 Immunologie (option clinique)
Mme HARSAK-RASTEI Laura		<ul style="list-style-type: none"> - pôle d'imagerie - Service de Médecine Nucléaire et Imagerie Moléculaire / ICANS 	43.01 Biophysique et médecine nucléaire
HUBELE Fabrice		<ul style="list-style-type: none"> - pôle d'imagerie - Service de Médecine nucléaire et imagerie Moléculaire / ICANS - Service de Biophysique et de Médecine Nucléaire / NHC 	43.01 Biophysique et médecine nucléaire
KASTNER Philippe		<ul style="list-style-type: none"> - pôle de biologie - Département Génomique fonctionnelle et cancer / IBGMC 	47.04 Génétique (option biologique)
Mme KEMMEL Véronique		<ul style="list-style-type: none"> - Pôle de Biologie - Laboratoire de Biochimie et de Biologie moléculaire / Hp 	44.01 Biochimie et biologie moléculaire
Mme KRASNY-PACINI Agata		<ul style="list-style-type: none"> - pôle de Médecine Physique et de Réadaptation - Institut Universitaire de Réadaptation / Clémenceau 	49.05 Médecine Physique et Réadaptation
Mme LAMOUR Vallérie		<ul style="list-style-type: none"> - pôle de Biologie - Laboratoire de Biochimie et de Biologie moléculaire / Hp 	44.01 Biochimie et biologie moléculaire
Mme LANNES Béatrice		<ul style="list-style-type: none"> - Institut d'Histologie / Faculté de Médecine - pôle de Biologie - Service de Pathologie / Hôpital de Hauteville 	42.02 Histologie, Embryologie et Cytogénétique (option biologique)
LAVAUX Thomas		<ul style="list-style-type: none"> - pôle de Biologie - Laboratoire de Biochimie et de Biologie moléculaire / Hp 	44.03 Biologie cellulaire
LAVIGNE Thierry		<ul style="list-style-type: none"> - Santé publique, Santé au travail et Hygiène hospitalière / HC 	
LE BORGNE Pierrick		<ul style="list-style-type: none"> - pôle d'Anesthésie / Réanimation chirurgicales / SAMU-SMUR - Service des Urgences Médico-Chirurgicales Adultes / HP 	48.05 Réanimation ; Médecine d'urgence
Mme LECONTRE Lise		<ul style="list-style-type: none"> - pôle de Gynécologie-Obstétrique - Service de Gynécologie-Obstétrique / Hôpital de Hauteville 	54.03 Gynécologie-Obstétrique ; gynécologie médicale Option : Gynécologie-obstétrique
LENORMAND Cédric		<ul style="list-style-type: none"> - pôle de Chirurgie maxillo-faciale, Morphologie et Dermatologie - Service de Dermatologie / Hôpital Civil 	50.03 Dermato-Vénérérologie
LEVY Michail		<ul style="list-style-type: none"> - pôle médico-chirurgical de Pédiatrie - Service de Réanimation Pédiatrique Spécialisée et de Surveillance Continue / HP 	54.01 Pédiatrie
LHERMITTE Benoît		<ul style="list-style-type: none"> - pôle de Biologie - Service de Pathologie / Hôpital de Hauteville 	42.03 Anatomie et cytologie pathologiques
LUTZ Jean-Christophe		<ul style="list-style-type: none"> - pôle de chirurgie plastique reconstructrice et esthétique, chirurgie maxillo-faciale, Morphologie et Dermatologie - Service de chirurgie Plastique et Maxillo-faciale / Hôpital Civil 	55.03 Chirurgie maxillo-faciale et stomatologie
MEROUJI Hamid		<ul style="list-style-type: none"> - pôle Urgences - Réanimations médicales / centre antipoison - Service de Médecine Intensive et Réanimation / nouvel Hôpital Civil 	48.02 Réanimation
MIGUET Laurent		<ul style="list-style-type: none"> - Pôle de Biologie - Laboratoire d'Hématologie biologique / Hôpital de Hauteville et NHC 	44.03 Biologie cellulaire (type mixte : biologique)
Mme MOUTOU Céline ép. GUNTHNER	CS	<ul style="list-style-type: none"> - pôle de Biologie - Laboratoire de Diagnostic préImplantatoire / CMCC Schiltigheim 	54.05 Biologie et médecine du développement et de la reproduction (option biologique)
MULLER Jean		<ul style="list-style-type: none"> - pôle de Biologie - Laboratoire de Diagnostic génétique / Nouvel Hôpital Civil 	47.04 Génétique (option biologique)
Mme NICOLAE Alina		<ul style="list-style-type: none"> - Pôle de Biologie - Service de Pathologie / Hôpital de Hauteville 	42.03 Anatomie et Cytologie Pathologiques (Option Clinique)
Mme NOURRY Nathalie		<ul style="list-style-type: none"> - pôle de santé publique et santé au travail - Service de Pathologie professionnelle et de Médecine du travail / HC 	48.02 Médecine et Santé au Travail (option clinique)
PFAFF Alexander		<ul style="list-style-type: none"> - pôle de Biologie - Laboratoire de Parasitologie et de Mycologie médicale / PTM HUS 	45.02 Parasitologie et mycologie
Mme PITON Amélie		<ul style="list-style-type: none"> - pôle de Biologie - Laboratoire de Diagnostic génétique / NHC 	47.04 Génétique (option biologique)
POP Rasul		<ul style="list-style-type: none"> - pôle d'imagerie - Unité de Neuroradiologie Interventionnelle / Hôpital de Hauteville 	43.02 Radiologie et Imagerie médicale (option clinique)
PREVOST Gilles		<ul style="list-style-type: none"> - pôle de Biologie - Institut (Laboratoire) de Bactériologie / PTM HUS et Faculté 	45.01 Option : Bactériologie-virologie (biologique)
Mme RADOSAVLJEVIC Mirjana		<ul style="list-style-type: none"> - pôle de Biologie - Laboratoire d'Immunologie biologique / Nouvel Hôpital Civil 	47.03 Immunologie (option biologique)
Mme REIX Nathalie		<ul style="list-style-type: none"> - pôle de Biologie - Laboratoire de Biochimie et Biologie moléculaire / NHC 	43.01 Biophysique et médecine nucléaire
Mme RIDU Marianne		<ul style="list-style-type: none"> - pôle de Pathologie thoracique - Service de Physiologie et explorations fonctionnelles / NHC 	44.02 Physiologie (option clinique)
Mme ROLLAND Delphine		<ul style="list-style-type: none"> - pôle de Biologie - Laboratoire d'Hématologie biologique / Hôpital de Hauteville 	47.01 Hématologie ; transfusion (type mixte : Hématologie)
Mme ROLLING Julie		<ul style="list-style-type: none"> - pôle de Psychiatrie et de santé mentale - Service Psychothérapeutique pour Enfants et Adolescents / HC 	49.04 Pédiopsychiatrie ; Addictologie
Mme RUPPERT Elisabeth		<ul style="list-style-type: none"> - pôle Tête et Cou - Service de Neurologie - Unité de Pathologie du Sommeil / HC 	49.01 Neurologie
Mme SABOU Alina		<ul style="list-style-type: none"> - Pôle de Biologie - Laboratoire de Parasitologie et de Mycologie médicale/PTM HUS - Institut de Parasitologie / Faculté de Médecine 	45.02 Parasitologie et mycologie (option biologique)
SANTANDO Antonio		<ul style="list-style-type: none"> - pôle des Pathologies digestives, hépatiques et de la transplantation - Service d'Hépato-Gastro-Entérologie /HP 	52.01 Gastro-entérologie ; hépatologie ; Addictologie

NOM et Prénoms	CS ^a	Services Hospitaliers ou Institut / Localisation	Sous-section du Conseil National des Universités
Mme SCHEIDERER Sophie		- Pôle de Biologie - Laboratoire de Diagnostic génétique / Nouvel Hôpital Civil	47.04 Génétique
SCHRAMM Frédéric		- Pôle de Biologie - Institut (Laboratoire) de Bactériologie / PTM HUS et Faculté	45.03 Option : Bactériologie-Virologie (biologique)
Mme SOLIS Morgane		- Pôle de Biologie - Laboratoire de Virologie / Hôpital de Hauteville	45.03 Bactériologie-Virologie ; Hygiène hospitalière Option : Bactériologie-Virologie
Mme SORDET Christelle		- Pôle de Médecine Interne, Rhumatologie, Nutrition, Endocrinologie, Diabétologie (MIRNED) - Service de Rhumatologie / Hôpital de Hauteville	50.01 Rhumatologie
Mme TALAGRAND-REBOUL Emilie		- Pôle de Biologie - Institut (Laboratoire) de Bactériologie / PTM HUS et Faculté	45.01 Option : Bactériologie-Virologie (biologique)
TODESKI Julien		- Pôle Tête-Cou - Service de Neurochirurgie / H.P.	49.02 Neurochirurgie
VALLAT Laurent		- Pôle de Biologie - Laboratoire d'Immunologie Biologique - Hôpital de Hauteville	47.05 Hématologie ; Transfusion Option Hématologie Biologique
Mme VELAY-RUSCH Aurélie		- Pôle de Biologie - Laboratoire de Virologie / Hôpital Civil	45.03 Bactériologie-Virologie ; Hygiène hospitalière Option Bactériologie-Virologie biologique
Mme VILLARD Odile		- Pôle de Biologie - Labo. de Parasitologie et de Mycologie médicale / PTM HUS et Fac	45.02 Parasitologie et mycologie (option biologique)
ZOLL Joffrey		- Pôle de Pathologie thoracique - Service de Physiologie et d'explorations fonctionnelles / HC	44.02 Physiologie (option clinique)

B2 – PROFESSEURS DES UNIVERSITÉS (monoappartenant)

PR BONAH Christian P0166	Laboratoire d'Epistémologie des Sciences de la Vie et de la Santé (LESVS) Institut d'Anatomie Pathologique	72. Epistémologie - Histoire des sciences et des Techniques
--------------------------	---	---

B3 – MAITRES DE CONFÉRENCES DES UNIVERSITÉS (monoappartenant)

Mme CHABAN Eléna	ICUBE-UMR 7357 - Equipe iMIS / Faculté de Médecine	69. Neurosciences
Mme DEGIORGIS Laëtitia	ICUBE-UMR 7357 - Equipe iMIS / Faculté de Médecine	69. Neurosciences
M. DILLENEGER Jean-Philippe	ICUBE-UMR 7357 - Equipe iMIS / Faculté de Médecine	61. Génie informatique, automatique et traitement du signal
MY KESSEL Nils	Laboratoire d'Epistémologie des Sciences de la Vie et de la Santé (LESVS) Institut d'Anatomie Pathologique	72. Epistémologie - Histoire des sciences et des Techniques
MY LANDRE Lionel	ICUBE-UMR 7357 - Equipe iMIS / Faculté de Médecine	69. Neurosciences
Mme MIRALLES Célia	Laboratoire d'Epistémologie des Sciences de la Vie et de la Santé (LESVS) Institut d'Anatomie Pathologique	72. Epistémologie - Histoire des sciences et des Techniques
Mme SCARFONE Marianna	Laboratoire d'Epistémologie des Sciences de la Vie et de la Santé (LESVS) Institut d'Anatomie Pathologique	72. Epistémologie - Histoire des sciences et des Techniques
Mme THOMAS Marion	Laboratoire d'Epistémologie des Sciences de la Vie et de la Santé (LESVS) Institut d'Anatomie Pathologique	72. Epistémologie - Histoire des sciences et des Techniques
MY VAGNERON Frédéric	Laboratoire d'Epistémologie des Sciences de la Vie et de la Santé (LESVS) Institut d'Anatomie Pathologique	72. Epistémologie - Histoire des sciences et des Techniques
MY ZIMMER Alexis	Laboratoire d'Epistémologie des Sciences de la Vie et de la Santé (LESVS) Institut d'Anatomie Pathologique	72. Epistémologie - Histoire des sciences et des Techniques

C - ENSEIGNANTS ASSOCIÉS DE MÉDECINE GÉNÉRALE

C1 - PROFESSEURS ASSOCIÉS DES UNIVERSITÉS DE MÉDECINE GÉNÉRALE (mi-temps)

Pré Ass. DUMAS Claire
 Pré Ass. GROB-BERTHOU Anne
 Pr Ass. GUILLOU Philippe
 Pr Ass. HLD Philippe
 Pr Ass. ROUGERIE Fabien

C2 - MAITRE DE CONFÉRENCES DES UNIVERSITÉS DE MÉDECINE GÉNÉRALE - TITULAIRE

Dre CHAMBE Juliette
 Dr LORENZO Mathieu

C3 - MAITRES DE CONFÉRENCES ASSOCIÉS DES UNIVERSITÉS DE MÉDECINE GÉNÉRALE (mi-temps)

Dre DELACOUR Chloé
 Dr GIACOMINI Antoine
 Dr HERZOG Florent
 Dr HOLLANDER David
 Dr MERLE
 Dre SANSELME Anne-Elisabeth

E - PRATICIENS HOSPITALIERS - CHEFS DE SERVICE NON UNIVERSITAIRES

Dr BAYLE Eric	+ Pôle d'Anesthésie / Réanimation chirurgicales / SAMU-SMUR - Service des Urgences Médico-chirurgicales Adultes / HP
Dr BOHBOT Alain	+ Pôle d'Oncogénéalogie - Service d'Hématologie et d'Oncologie / HP
Dr BRINKERT David	+ Pôle de l'Appareil locomoteur - Service d'Orthopédie-Traumatologie du Membre Inférieur / HP
Pr CALVEL Laurent	+ Pôle de - Service de Soins d'Accompagnement, de soins de support et de soins palliatifs (SASP) - Hôpital de Hauteville
Mme la Dre DARIUS Sophie	- Permanence d'accès aux soins de santé - La Busselle (PASS) / Hôpital Civil
Mme Dre GOURIEUX Bénédicte	+ Pôle de Pharmacie-pharmacologie - Service de Pharmacie-stérilisation / Nouvel Hôpital Civil
Dre GUILBERT Anne-Sophie	+ Pôle médico-chirurgical de Pédiatrie - Service de Réanimation pédiatrique spécialisée et de surveillance continue / HP
Dr LEFEBVRE Nicolas	+ Pôle de Spécialités Médicales - Ophtalmologie - Hygiène (SMO) - Service des Maladies Infectieuses et Tropicales / Nouvel Hôpital Civil
Dr NISAND Gabriel	+ Pôle de Santé Publique et Santé au travail - Service de Santé Publique - DIM / Hôpital Civil
Dr PIRRELLO Olivier	+ Pôle de Gynécologie et d'Obstétrique - Service de Gynécologie-Obstétrique / CMCO
Dr SALVAT Eric	+ Pôle de - CETD (Centre d'évaluation et Traitement de la Douleur) / Hôpital de Hauteville
Dr TCHOMAKOV Dimitar	+ Pôle Médico-Chirurgical de Pédiatrie - Service des urgences Médico-chirurgicales pédiatriques / Hôpital de Hauteville
Dr URSENBACH Axel	+ Pôle de Spécialités Médicales - Ophtalmologie - Hygiène (SMO) - Trait d'Union / NC
Dr WAECHTER Cédric	+ Pôle de Gériatrie - Service de Soins de suite de Longue Durée et d'hébergement gériatrique / EHPAD / Robertsau
Mme Dre WEISS Anne	+ Pôle Urgences - SAMU67 - Médecine Intensive et Réanimation - SAMU

F1 - PROFESSEURS ÉMÉRITES

- o de droit et à vie** (membre de l'Institut)
CHAMBON Pierre (Biochimie et biologie moléculaire)
MANDEL Jean-Louis (Génétique et biologie moléculaire et cellulaire)
 - o pour trois ans (1er septembre 2022 au 31 août 2025)**
MENE QUODIX Elisabeth (Pneumologie)
 - o pour cinq ans (1er septembre 2023 au 31 août 2028)**
CHRISTMANN Daniel (Maladies infectieuses et tropicales)
DANION Anne (Déopsychiatrie, addictologie)
DANION Jean-Marie (Psychiatrie)
GRUCKER Daniel (Physique biologique)
HANNEDOUCHE Thierry (Néphrologie)
HERBRECHT Raoul (Hématologie)
KEMPF Jean-François (Chirurgie orthopédique et de la main)
MOULIN Bruno (Néphrologie)
PINGET Michel (Endocrinologie)
ROGUE Patrick (Biochimie et Biologie moléculaire)
ROUL Gérald (Cardiologie)
STEIB Jean-Paul (Chirurgie du rachis)

F2 - PROFESSEUR des UNIVERSITÉS ASSOCIÉ (mi-temps)

M. SOLER Luc OMU-31 IRCAD

F3 - PROFESSEURS CONVENTIONNÉS DE L'UNIVERSITÉ

Dre BOPP Claire 48-01
Pre LAMOUILLE-CHEVALIER Catherine 46-05
Dr MATSUSHITA Kensuke 51-02

G1 - PROFESSEURS HONORAIRES

ADLOFF Michel (Chirurgie digestive) / 01.09.94	LANG Gabriel (Orthopédie et traumatologie) / 01.10.98
BALDAUF Jean-Jacques (Gynécologie obstétrique) / 01.09.21	LANGER Bruno (Gynécologie) / 01.11.18
BARDIS Pierre (Cardiologie) / 01.09.12	LONGDOFFER Jean (Physiologie) / 01.08.10
BATZENSON-LAUGER André (Anatomie Pathologique) / 01.10.05	LUTZ Patrick (Pédiatrie) / 01.09.10
BAUMANN René (Hépato-gastro-entérologie) / 01.09.10	MAILLOT Claude (Anatomie normale) / 01.09.03
BECKMANN Françoise (Chirurgie Pédiatrique) / 01.09.23	MALTRÉ Michel (Biochimie et biol. moléculaire) / 01.06.13
BERLUCCI Jean-Pierre (Pathologie) / 01.09.23	MANGEL Jean-Louis (Endocrinologue) / 01.09.16
BERGERET Jean-Pierre (Cancérologie) / 01.01.19	MARNOU Pauline (Médecine Légale) / 01.12.14
BERTHEL Marc (Obstétricien) / 01.09.18	MARECAUX Christian (Neurologie) / 01.09.19
BRENTZ Michel (Hygiène Hospitalière) / 01.09.04	MARECAUX Jacques (Chirurgie digestive) / 01.09.18
BUCKLE Jean-Frédéric (Médecine Interne) / 15.10.17	MARK Jean-Joseph (Biochimie et biologie cellulaire) / 01.09.09
BODIN-BURGER Wally (Hépatologie) / 01.09.28	MARTI Joseph (Génétique fonctionnelle et cancer-KBMIC) / 01.07.23
BOUJAT Pierre (Radiologie) / 01.09.03	MASZELLOTTE Jean-Philippe (Chirurgie cardio-vasculaire) / 20.09.24
BOUSQUET Pascal (Pharmacologie) / 01.08.39	MESSER Jean (Pédiatrie) / 01.09.07
BRECHBACHER Claude (Cardiologie) / 01.07.99	MEYER Christian (Chirurgie générale) / 01.09.13
BRETTES Jean-Philippe (Gynécologie-obstétrique) / 01.09.20	MEYER Pierre (Infectiologie, infirmierie méd.) / 01.09.20
BRUANT-ROBBE Catherine (Chirurgie Plastique et Maxillo-faciale) / 01.07.24	MONTEL Henri (Bactériologie) / 01.09.11
BUREAU Claude (Dépistage) / 01.09.18	MULLER André (OBG) / 01.09.23
CANTHEAU Alain (Médecine et Santé au travail) / 01.09.15	NGANGA Israel (Gynécologie-obstétrique) / 01.09.19
CAZENAVE Jean-Pierre (Hématologie) / 01.09.35	OUDOT Pierre (Biologie cellulaire) / 01.09.13
CHAMPY Maxime (Stomatologie) / 01.10.95	PAGNUCCI Jean-Louis (Immunologie clinique) / 01.09.15
CHAUVIN Michel (Cardiologie) / 01.09.18	PATRIS Michel (Psychiatrie) / 01.09.15
CHELLY Jean-Médéric (Diagnostic génétique) / 01.09.20	PINE PAULI Giselle (Réumatologie) / 01.09.11
CHIQUALIBRE Jacques (Chirurgie générale) / 01.10.32	POTTECHER Thierry (Anesthésie-réanimation) / 01.09.18
CLAVERT Jean-Michel (Chirurgie infantile) / 01.10.39	REY Philippe (Chirurgie générale) / 01.09.38
CONSTANTINESCO André (Diaphysio et médecine nucléaire) / 01.09.11	RITTER Jean (Gynécologie-obstétrique) / 01.09.02
DEMUNUCH Pierre (Anesthésiologie et réanimation chirurgicale) / 01.09.24	RUMPLER Yves (Obst. développement) / 01.09.10
DETMERI Jean-Louis (Radiologie) / 01.09.17	SANDNER Guy (Physiologie) / 01.05.34
DOPPEL Michel (Gastroentérologue) / 02.09.17	SAUDET Philippe (Réanimation médicale) / 01.09.20
DUCLOS Bernard (Hépato-Gastro-hépatologue) / 01.09.19	SAUVAGE Paul (Chirurgie infantile) / 01.08.04
DUPOUR Patrick (Centre Paul Strauss) / 01.09.19	SCHLAEDER Guy (Gynécologie-Ostéopathie) / 01.09.01
DUPERIRON Jean-Pierre (Anesthésiologie-Réa. Chir.) / 01.08.13	SCHLINGER Jean-Louis (Médecine Interne) / 01.08.11
EGENMANN Bertrand (Chirurgie cardio-vasculaire) / 01.04.10	SCHINDLER Francis (Réanimation médicale) / 01.06.24
FABRE Michel (Cytologie et Histologie) / 01.09.02	SCHRAUB Simon (Radiothérapie) / 01.05.12
FISCHBACH Michel (Pédiatrie) / 01.10.16	SICK Henri (Anatomie normale) / 01.09.06
GAY Gérard (Hépato-gastro-entérologue) / 01.09.13	STEIN Annick (Anesthésiologie) / 01.04.19
GUT Jean-Pierre (Virologie) / 01.09.14	STERLE Jean-Luc (ORL) / 01.09.16
HAGSELMANN Michel (Réanimation médicale) / 01.09.19	STOLL Claude (Génétique) / 01.09.00
HAUPTMANN Georges (Hématologie-biologique) / 01.09.06	STOLL-KELLER Françoise (Virologie) / 01.09.15
IMLER Marc (Médecine Interne) / 01.09.98	STOERCK Daniel (Médecine Interne) / 01.08.03
JACQUEMIN Didier (Urologie) / 09.08.07	TEMPE Jean-Daniel (Réanimation médicale) / 01.09.06
JACKO Daniel (Chirurgie générale) / 01.09.11	TONGD Jean (Radiologie) / 01.09.02
JESEL Michel (Médecine physique et réadaptation) / 01.09.04	WAUTRAS Philippe (Médecine physique et réadaptation) / 01.09.28
KAHN Jean-Luc (Anatomie) / 01.09.18	VEILLON Francis (Imagerie viscérale, ORL et mammaire) / 01.09.23
KEHR Pierre (Chirurgie orthopédique) / 01.09.09	VETTER Denis (Hép. Interne, diabète et mal. métabolique) / 03.01.23
KOPPERSCHMITT Jacques (urgences Médi-co-chirurgicales Adultes) / 01.09.23	VETTER Jean-Marie (Anatomie pathologique) / 01.09.13
KREMER Michel / 01.09.99	WALTER Paul (Anatomie pathologique) / 01.09.03
KRETZ Jean-Georges (Chirurgie vasculaire) / 01.09.18	WEIL Jean-Marie (Chirurgie thoracique) / 01.08.11
KRIGER Jean (Neurologie) / 01.01.07	WEIL Astrid (Chirurgie maxillo-faciale) / 01.09.15
KUMTZ Jean-Louis (Rhumatologie) / 01.09.08	WOLRAM-SABEL Renate (Anatomie) / 01.09.06
KUMTZMANN Francis (Gérontologie) / 01.08.07	

Légende des adresses :

FAC : Faculté de Médecine ; 4, rue Kirchleger - F - 67083 Strasbourg cedex - Tél : 03.68.85.35.20 - Fax : 03.68.85.35.18 ou 03.68.85.34.67

HOPITAUX UNIVERSITAIRES DE STRASBOURG (HUS) :

- Hôpital Universitaire de Strasbourg : 1, place de l'Hôpital - BP 426 - F - 67093 Strasbourg cedex - Tél : 03.65.55.07.08
- Hôpital Civil : 1, Place de l'Hôpital - BP. 426 - F - 67093 Strasbourg Cedex - Tél. : 03.68.11.67.58
- Hôpital de Masteplaine : Avenue Müller - BP. 49 - F - 67088 Strasbourg Cedex - Tél. : 03.68.12.00.00
- Hôpital de La Robertsau : 93, rue Hirnweier - F - 67015 Strasbourg Cedex - Tél. : 03.68.11.55.11
- Hôpital de l'Illzou : 15, rue Cranzach - F 67200 Strasbourg - Tél. : 03.88.11.57.68

ICAMS - Institut de CANCérologie Strasbourg : 17 rue Albert Calmette - 67200 Strasbourg - Tél. : 03.88.78.67.87

CMCO - centre Médico-Chirurgical et Obstétrical : 19, rue Louis Pasteur - BP 120 - Schiltigheim - F - 67303 Strasbourg cedex - Tél. : 03.88.62.83.09

CCDM - centre de chirurgie orthopédique et de la Main : 10, avenue Baumhöf - BP. 98 - F - 67403 Illkirch-Graffenstaden cedex - Tél. : 03.88.55.20.09

E.F.S. : établissement Français du Sang - Alsace : 10, rue Spilmann - BP N°16 - 67083 Strasbourg cedex - Tél. : 03.88.21.25.25

HRS - Institut Universitaire de Réadaptation Clemenceau - CHU de Strasbourg et USECAM (Union pour la gestion des établissements des caisses d'assurance Maladie) -

45 boulevard Clemenceau - F 67062 Strasbourg Cedex

RESPONSABLE DE LA BIBLIOTHÈQUE DE MÉDECINE ET DENTISTE ET DU DÉPARTEMENT SCIENCES, TECHNIQUES ET SANTÉ DU SERVICE COMMUN DE DOCUMENTATION DE L'UNIVERSITÉ DE STRASBOURG

Monsieur Olivier DIVE, Conservateur

**LA FACULTÉ A ARRETÉ QUE LES OPINIONS ÉMISES DANS LES DISSERTATIONS QUI LUI SONT PRÉSENTÉES
DOIVENT ÊTRE CONSIDÉRÉES COMME PROPRES À LEURS AUTEURS ET QU'ELLE N'ENTEND NI LES APPROUVER, NI LES IMPROUVER**

SERMENT D'HIPPOCRATE

En présence des maîtres de cette école, de mes chers condisciples, je promets et je jure au nom de l'Être suprême d'être fidèle aux lois de l'honneur et de la probité dans l'exercice de la médecine. Je donnerai mes soins gratuits à l'indigent et n'exigerai jamais un salaire au-dessus de mon travail.

Admise à l'intérieur des maisons, mes yeux ne verront pas ce qui s'y passe.

Ma langue taira les secrets qui me seront confiés et mon état ne servira pas à corrompre les mœurs ni à favoriser les crimes.

Respectueuse et reconnaissante envers mes maîtres je rendrai à leurs enfants l'instruction que j'ai reçue de leurs pères.

Que les hommes m'accordent leur estime si je suis restée fidèle à mes promesses.
Que je sois couverte d'opprobre et méprisée de mes confrères si j'y manque.

REMERCIEMENTS

Aux membres du jury :

A Monsieur le Professeur Julien POTTECHER, merci d'avoir accepté de présider ce Jury.

A Monsieur le Docteur Baptiste BOUCHIER, merci d'avoir accepté de siéger dans ce jury. Merci de m'avoir fait découvrir et aimer la réanimation neurologique et merci de me l'avoir enseignée.

A Monsieur le Docteur Baptiste BALANCA, merci de m'avoir confié ce travail de thèse et de m'avoir aidé à le réaliser. Je te remercie chaleureusement de m'avoir si bien accueillie dans le service de réanimation neurologique de Lyon que tu diriges et de m'avoir permis de travailler avec ton équipe. Merci pour tes enseignements si riches, pour ta patiente et pour ta bienveillance.

A tous les médecins que j'ai pu rencontrer pendant mon cursus et qui m'ont beaucoup inspirée. Merci d'avoir participé à faire de moi le médecin que je suis aujourd'hui. Merci Maud en médecine interne à Colmar, tu m'as fait confiance dès le début.

Merci Thomas au SMUR à Mulhouse, tu m'as immédiatement comprise et canalisée. Merci Baptiste et Baptiste en réanimation chirurgicale à Strasbourg pour m'avoir partagé autant de connaissances et pour votre pragmatisme.

Merci à Florian, en réanimation neurologique à Lyon.

Aux internes de ma promotion des urgences. Aux internes de ma promotion d'anesthésie-réanimation.

A Pierre, mon fidèle ami depuis le premier jour de l'internat.

A Emma, mon binôme depuis notre droit au remord. Tu m'inspires et m'épaules au quotidien, merci pour tout ! J'ai hâte de réanimer avec toi.

A tous mes co-internes avec qui j'ai eu le plaisir de travailler dans mes différents stages. Je suis très chanceuse de vous avoir eus comme collègues et de vous compter parmi mes amis maintenant. A Emma, Antoine, Thomas, Arthur aux urgences d'Hautepierre, merci pour ce début d'internat et nos week-ends au vert. A Cam, bien plus ma copine que ma co-interne ! A Rayane et sa bonne humeur éternelle au SMUR de Mulhouse, j'espère avoir la chance de retravailler avec toi un jour. A Paul aux urgences de Mulhouse, merci pour la fête ! A Yannis en réanimation médicale à Hautepierre. A Bastien et Lélio en réanimation chirurgicale à Hautepierre. A la dream-team Hasna et Vincent en anesthésie à Mulhouse. A Antoine et Mélody à Lyon.

A mes co-externes, Julie et Antoine. A Elopossum. A Paul mon binôme de Bad

A papa. A maman. Je vous aime. Je suis fière que vous soyez là pour ma thèse !

A ma sœur Maryline, le ciment de notre famille. Merci d'avoir toujours été présente, me permettant de ne pas l'être. Tu es merveilleuse, forte et inspirante. Je t'aime

A mon frère Romain, je suis fière de toi mon grand. Je t'aime.

A mes marraines Annie et Heidi, ma tata Alexandra et mes tontons Philippe, Georges et Fabrice. Vous m'avez aimée sans condition. Merci. Je vous aime du fond du cœur.

A mes cousins Sylvain et Xavier et ma cousine Rosalie. Je suis reconnaissante d'avoir grandi à vos côtés. Vous voir vous investir et vous épanouir dans vos projets à chacun m'inspire profondément.

A mes plus jeunes cousins Tanguy, Maxence, Dimitri et ma cousine Ella. Je suis heureuse et fière de vous voir grandir.

A mes grands-parents Papy, Mamie, Opa et Oma. Merci pour cette enfance à la campagne, vos bons plats de grand-mère et tous ces merveilleux souvenirs.

A tous mes amis,

A Coline. Tu m'accompagnes depuis tellement d'années et tu es présente pour chacun de mes choix. Merci pour tes conseils et tes mots rassurants. Merci de me préparer à manger à chaque fois que je manque de temps pour mes études. Merci pour le fun, pour les voyages et l'aventure. Vivement la prochaine ! Je t'aime ma Coco.

A Joséphine. Que la vie soit une fête ou que la vie soit une lutte, la vie est belle à tes côtés. Merci d'être mon amie. Je t'aime.

A Noémie. Je t'aime. Merci d'apporter continuellement de la joie et de l'énergie dans ma vie.

A Violette. En chantier, en soirée, à l'escalade, à vélo, en rando,... Etre amie avec toi est une évidence depuis le début ! Je t'aime Vio.

A tous les membres de l'association sportive des cheminots de Strasbourg. J'ai l'impression que ma vie à Strasbourg a commencé le jour où je suis arrivée dans ce club de rugby. Vous êtes ma vie sociale. Ma famille jaune et bleue.

A toutes les cheminotes et tout particulièrement à Tatie, Cox, Claire, Mathilde, Charlotte, Léa, Clarisse, Elo, Morgane, Alice. Évoluer à vos côtés pendant tellement d'années m'a énormément appris sur moi et sur la vie. Merci pour la sororité

Aux mecs, mes amis rencontrés grâce au rugby :

A Anatole, mon maître d'œuvre. A Glatzou, roi de la puff. A Antoine, roi de la teuf. A Coco et Louise. A Tristan et sa merveilleuse famille. A Giani.

A Jacques. Depuis l'ascenseur du bâtiment 3, au club et à la coloc, tu as été présent dans toutes les étapes de ma vie strasbourgeoise et d'étudiante en médecine. Merci ! Arthur, troisième membre de la BBC.

A mes colocs du 21 rue Adèle Riton et tontons de Simon : Titi, Léo et Enno.

Aux Storkas. A Jess. A Camille et Pierre. Merci de m'avoir ouvert les bras à Mulhouse.

A Marie. Merci de m'avoir fait découvrir et aimer Lyon.

TABLE DES MATIERES

Liste des abréviations	18
Liste des tableaux	19
Liste des figures	19
Introduction	20
L'hémorragie sous arachnoïdienne	20
L'ischémie cérébrale retardée	23
La protéine S100 β	32
Matériel et Méthode	37
Type d'étude	37
Lieu et période de l'étude	37
Population étudiée	37
Critères de jugement	38
Procédure et intervention	39
Collecte des données	42
Analyses statistiques	43
Éthique	45
Résultats	47
Caractéristiques des patients, modalité de suspicion et de traitement d'ischémie cérébrale retardée et devenir des patients	47
Valeurs de la protéine S100 β	52
Critères de jugement secondaires	54
Discussion	58
Conclusion	68
Bibliographie	71

LISTE DES ABREVIATIONS

- ApoE : Apolipoprotéine E
- AVCi : Accident vasculaire cérébral ischémique
- CPP : Comité de Protection des Personnes
- CRP : Protéine C-réactive
- DSC : Débit sanguin cérébral
- DTC : Échographie Doppler Transcrânien
- DVE : Dérivation ventriculaire externe
- EBI : Early brain injury
- EEG : Électroencéphalogramme
- GFAP : *Glial fibrillary acidic protein*
- HSA : Hémorragie sous arachnoïdienne
- HSAa : Hémorragie sous arachnoïdienne anévrismale
- CHU : Centre hospitalo-universitaire
- HCL : Hospices civils de Lyon
- HTIC : Hypertension intracrânienne
- ICR : Ischémie cérébrale retardée
- IRM : Imagerie par résonnance magnétique
- IL-6 : Interleukine 6
- IV : Intraveineux
- LCS : liquide cérébraux spinal
- NSE : *Neuron specific enolase*
- PtiO₂ : Pression tissulaire en oxygène
- TDM : Tomodensitométrie
- TOF : Time of flight
- WFNS : World federation of neurological surgeons

LISTE DES TABLEAUX

Tableau 1 : Caractéristiques générales des patients	48
Tableau 2 : Modalité de suspicion d'ICR	50
Tableau 3 : Valeurs médianes de la protéine S100 β aux différents temps de prélèvements	52
Tableau 4 : Valeurs médianes de la protéine S100 β entre les groupes ICR et sans ICR	53

LISTE DES FIGURES

Figure 1 : Classification WFNS	22
Figure 2 : Score de Fisher modifié	24
Figure 3 : Protocole SkinDCI	40
Figure 4 : Courbes de variation absolue et relative de la protéine S100 β aux différents temps de prélèvement	54
Figure 5 : Courbe ROC - Performance diagnostique de la protéine S100 β > 0,1 μ g/ml pour la prédition d'ICR	55
Figure 6 : Courbe ROC - Performance diagnostique de la variation de la protéine S100 β de 0,02 μ g/ml pour la prédition d'ICR	56
Figure 7 : Courbes de variation absolue et relative de la protéine S100 β après l'angioplastie	57

INTRODUCTION

I. L'hémorragie sous arachnoïdienne

L'hémorragie sous arachnoïdienne (HSA), également appelée hémorragie méningée, est une urgence neurochirurgicale. Elle est définie par un saignement artériel soudain dans l'espace sous-arachnoïdien, entre l'arachnoïde et la pie-mère, pouvant être associé à une hémorragie intra-ventriculaire ou intra-parenchymateuse (1). Elle représente 5% des accidents vasculaires cérébraux (2).

Dans 85% des cas, l'HSA non traumatique est liée à la rupture d'un anévrysme (HSAa). L'anévrysme est une irrégularité du vaisseau se développant sur les artères principales du polygone de Willis par dégénérescence de la limite élastique interne et perte de la média (2).

La prévalence des anévrismes non rompus est de 0,4 à 0,6% de la population générale. Leurs facteurs de risque principaux sont le sexe féminin, le tabagisme et l'hypertension artérielle. Il existe des formes familiales ; pour exemple, 10% des patients atteints de polykystose rénale ont un anévrysme cérébral (3).

L'incidence mondiale de l'HSAa est de 6,1 (95% IC, 4.9-7.5) pour 100 000 personnes par an et 6.3 (95% IC, 4.9-8.1) pour 100 000 personnes par an en Europe (4). Elle touche des sujets jeunes avec un pic entre 50 et 60 ans, préférentiellement les femmes. Les facteurs de risque de rupture d'anévrysme et donc d'HSAa sont identiques et sont l'hypertension artérielle, le tabagisme et la consommation d'alcool (3).

L'HSA se présente classiquement par une céphalée (70% des cas) (2). Celle-ci est brutale pour 50% des patients et intense. 80% des patients décrivent cette céphalée comme la pire ressentie au cours de leur vie (1). Parmi les autres signes cliniques, inconstants et peu spécifiques, on retrouve des vomissements (70%), un syndrome méningé avec photo-phonophobie et raideur de la nuque, un déficit neurologique focal, des troubles de la vigilance (20-30% des patients ont des troubles de la vigilance à leur arrivée à l'hôpital) et des convulsions (5).

Le scanner cérébral non injecté est l'examen de référence pour le diagnostic d'HSA. L'examen est complété par un angioscanner cérébral à visée étiologique pour recherche d'un anévrysme. Une ponction lombaire ou une IRM cérébrale permettent de redresser le diagnostic lorsque le scanner est négatif (2% de faux négatifs) (5).

Bien que les progrès diagnostiques et thérapeutiques tendent à faire baisser le taux de mortalité lié à l'HSA, elle reste néanmoins élevée: 15% des patients présentant une HSA décèdent avant l'arrivée à l'hôpital, 25% décèdent dans les 24h suivant le saignement et jusqu'à 45% décèdent dans les 30 jours (6)(7). La mortalité initiale est principalement liée au saignement initial (36% des décès) ou au resaignement (25% des décès)(8).

Parmi les survivants, près de la moitié gardent des séquelles neurologiques irréversibles à l'origine d'une dépendance. En effet, seulement la moitié des survivants sont indépendants et 19% sont totalement dépendants pour les activités de la vie

quotidienne (9)(10). Seulement 62% des patients reprennent le travail après une HSA et seulement 35% reprennent leur ancien travail à temps plein (11).

La classification de la World Federation of Neurological Surgeons (WFNS) permet de déterminer la gravité initiale et est corrélée au pronostic neurologique après une HSAa selon le score de Glasgow initial et la présence ou non d'un déficit moteur (12).

Grade	Score de Glasgow	Déficit moteur	GOS grade 1–3 à 6 mois (%) ^a
I	15	Absent	13
II	13–14	Absent	20
III	13–14	Présent	42
IV	7–12	Présent ou absent	51
V	3–6	Présent ou absent	68

Figure 1 : Classification WFNS

La prise en charge de l'HSAa repose principalement sur la prévention de ces complications. La première consiste à réduire le risque précoce de resaignement par un contrôle de la pression artérielle et par la sécurisation rapide de l'anévrysme responsable de l'hémorragie. Le contrôle tensionnel consiste en la réduction progressive de la pression artérielle chez les patients présentant une hypertension sévère (pression artérielle systolique > 180–200mmHg), tout en évitant strictement l'hypotension (pression artérielle moyenne < 65mmHg) et en surveillant étroitement l'examen neurologique pendant la réduction de la pression artérielle. Les objectifs tensionnels ne font pas consensus mais maintenir la tension artérielle systolique inférieure à 160mmHg voir 140mmhg permet de réduire considérablement le risque de resaignement sans induire de lésions ischémiques (13) (14). La sécurisation de l'anévrysme consiste en son embolisation endovasculaire en radiologie

interventionnelle ou pas clippage chirurgical, idéalement dans les 24 heures suivant l'épisode hémorragique, et au plus tard dans les 72 heures (13). Parallèlement, l'hydrocéphalie secondaire à l'hémorragie intraventriculaire est traitée par la mise en place d'une dérivation ventriculaire externe. La prise en charge consiste également en l'initiation du traitement préventif des complications retardées de l'HSAa, en particulier l'ischémie cérébrale retardée (ICR), concomitante du vasospasme, qui constitue une cause majeure de morbidité secondaire (5) (13).

II. L'ischémie cérébrale retardée

L'ischémie cérébrale retardée (ICR) est la 3^{ème} complication redoutée de l'HSAa. Elle est définie selon Vergouwen et al. par la survenue d'un déficit neurologique focal (tel que l'hémiplégie, l'aphasie, l'apraxie, l'hémianopsie ou l'héminégligence) ou la diminution d'au moins 2 points sur le score de Glasgow. Cette modification clinique doit durer au moins 1 heure, ne pas être présente immédiatement après l'occlusion de l'anévrysme et ne pas être expliquée par une autre cause. Il s'agit donc d'un diagnostic clinique d'élimination au moyen d'un examen clinique, d'une imagerie cérébrale et par des examens biologiques (15).

L'ICR peut être réversible ou conduire à de l'ischémie cérébrale, définie par la présence d'un infarctus cérébral retrouvé à l'imagerie cérébrale dans les 4 à 6 semaines post-HSAa, non présente à l'imagerie cérébrale dans les 24-48 heures après l'occlusion de l'anévrysme et non liée à un éventuel hématome intra parenchymateux ou au trajet d'une dérivation ventriculaire externe (DVE) (15).

L'ICR survient généralement entre le 3^{ème} et le 14^{ème} jour post-HSA (16). Elle complique 30 à 40% des HSAa (17) et est responsable d'une morbi-mortalité importante. Il y a une association entre la survenue d'une ICR et le mauvais devenir cognitif et fonctionnel à 3 mois, quel que soit l'âge du patient, le score WFNS et le moyen de traitement de l'anévrysme (17).

Le facteur de risque principal de survenue d'ICR est la présence de sang dans les citerne de la base et les sillons corticaux et l'hémorragie intra-ventriculaire associée. Le score de Fisher remplacé par le score de Fisher modifié (Figure 2) est un score de gravité des HSAa prédisant le risque de vasospasme et d'ICR selon l'abondance du saignement et la présence ou non d'une hémorragie intra-ventriculaire ou intra-parenchymateuse (18). Un score de Fisher modifié à 1 est associé à un risque d'ischémie cérébrale de 6% alors qu'un score de Fisher modifié à 4 est associé à un risque d'ischémie cérébrale de 28%.

Grade	Aspect scanographique (sans contraste)	Probabilité d'infarctus cérébral
0	Pas d'HSA Pas d'hémorragie intra-ventriculaire	0%
1	HSA minime Pas d'hémorragie intra-ventriculaire	6 to 24%
2	HSA minime Hémorragie intra-ventriculaire	14 to 33%%
3	HSA importante Pas d'hémorragie intra-ventriculaire	12 to 33%
4	HSA importante Hémorragie intra-ventriculaire	28 to 40%

Figure 2 : Score de Fisher modifié

Présent dans près de 70% des HSAa, le vasospasme est longtemps considéré comme la seule cause d'ICR. Il s'agit de la réduction du calibre des artères

intracrâniennes liée à la toxicité directe du sang sur leur paroi externe entraînant une diminution de la perfusion du parenchyme en aval de la zone de spasme, pouvant conduire à son ischémie et son infarcissement. Les vaisseaux principalement touchés sont les artères du polygone de Willis : les artères cérébrales antérieures, moyennes et postérieures.

Des études plus récentes montrent que « la présence de vasospasme n'est ni nécessaire ni suffisante pour expliquer la survenue d'une ischémie cérébrale retardée » (19). Dans une étude de 580 patients présentant une HSAa, 16% ont un vasospasme symptomatique, 21% une ICR, 31% un vasospasme angiographique et 45% un vasospasme à l'échographie Doppler transcrânien (DTC). Seuls 34 % des patients ayant un vasospasme angiographique ont développé une ICR et 41 % une ischémie cérébrale (20).

La physiopathologie de l'ICR est multifactorielle et complexe, associant la lésion neurologique précoce, l'inflammation et le stress oxydatif, les microthrombi et les ondes de dépolarisation corticale.

L'« early brain injury » (EBI) regroupe les lésions neurologiques précoces induites par le saignement initial et par ses complications directes pendant les 72 heures suivant le saignement. Les patients présentent dès le saignement une baisse du débit sanguin cérébral secondaire à l'hypertension intracrânienne brutale, à un vasospasme précoce, à une hypovolémie, une hydrocéphalie ou à une baisse du débit cardiaque par cardiopathie adrénnergique. Cette baisse du débit sanguin cérébral conduit à une ischémie cérébrale globale et rend les neurones plus vulnérables aux agressions secondaires (21).

Les premières heures post-hémorragiques sont caractérisées par une activité procoagulante marquée. Il y a une hyperagrégation plaquettaire et une hypercoagulabilité à l'origine de formation de microthrombi dans la microcirculation cérébrale et une inhibition de la fibrinolyse empêchant la dissolution de ces thrombi (19). Des études montrent qu'une augmentation des marqueurs pro-coagulants dans le sang ou le liquide cérébrospinal (tels que le fibrinogène, le fibrinopeptide A, le facteur tissulaire ou le facteur de Willebrandt) est associée à une augmentation du risque d'ICR (22).

L'extravasation de sang est responsable d'une cascade de réactions pro-inflammatoires, avec la libération de TNFa, d'interleukine-6, d'antagonistes du récepteur de l'interleukine-1 et l'infiltration neutrophilique. Cette inflammation s'accompagne d'un stress oxydatif marqué par une production excessive de radicaux libres, liée à la dégradation de l'hémoglobine, à l'activation de la NO-synthase et à une dysfonction mitochondriale. Le NO, d'abord consommé puis produit en excès, devient毒ique en se transformant en peroxynitrite, altérant les cellules vasculaires et perturbant l'autorégulation cérébrale (19). La perte de l'autorégulation cérébrale est associée à une augmentation des spasmes microvasculaires qui est elle-même corrélée au développement de l'ICR (1).

Liée au saignement, il y a une modification structurelle de la forme des petits vaisseaux parenchymateux intéressant l'endothélium et les cellules musculaires lisses de la paroi artérielle, avec notamment la présence abondante de myofibroblastes et de collagène de type VII. Ces anomalies histologiques entraînent une dysfonction endothéiale induisant une vasoconstriction et une perturbation de la microcirculation ainsi qu'une destruction de la membrane basale. Cette vasculopathie est à l'origine

d'une augmentation de la perméabilité vasculaire entraînant œdème, hypersensibilité aux agents vasoconstricteurs et ischémie (19).

Il existe en zone pathologique des ondes de dépolarisation corticale. Ce sont des dépolarisations neuronales et gliales prolongées se propageant le long du cortex à une vitesse de 0,2 à 0,5 mm/min. Ces ondes de dépolarisation corticale peuvent être déclenchées par de nombreux stimuli tels que l'hypoxie, l'hypotension, l'ischémie, la présence d'hémoglobine libre, l'hypoglycémie. Leur pic survient entre le 5^{ème} et le 7^{ème} jour post-HSAa (19). Il est démontré que ces ondes de dépolarisation sont associées voire précèdent le développement d'une ICR indépendamment du vasospasme (21). Physiologiquement, ces ondes de dépolarisation entraînent une hyperhémie répondant à l'augmentation de la demande métabolique liée à la dépolarisation. Sur des zones pathologiques et avec des dépolarisations répétées, cette réponse hyperhémique est diminuée voir inversée et s'associe à une vasoconstriction et une baisse du débit sanguin cérébral (DSC) et une hypoxie, aggravant les lésions cérébrales ischémiques préexistantes. Le mécanisme de cette réaction hémodynamique inversée reste mal compris (21).

La seule molécule ayant montré son efficacité dans la réduction de la mortalité et de la dépendance liée à l'ischémie cérébrale est un inhibiteur calcique, la Nimodipine (RR 0.67 (95% CI 0.55 to 0.81)) (23). Ainsi, il est recommandé d'administrer 60mg de Nimodipine per os toutes les 4 heures pendant les 21 jours suivant une HSAa (13) afin de prévenir l'ICR et d'améliorer leur pronostic.

Le traitement médical de première intention du vasospasme consiste en la correction d'une éventuelle hypovolémie et l'augmentation de la pression artérielle. L'hypertension artérielle induite, avec pour cible une pression artérielle systolique entre 160-180mmHg ou jusqu'à amélioration clinique, a pour objectif de maintenir une pression de perfusion cérébrale en aval des vaisseaux spasmés. Les moyens utilisés sont les traitements vasopresseurs, la Noradrénaline, en première intention (13)(24).

Le traitement médical est associé au traitement endovasculaire. L'angioplastie permet de meilleurs résultats si elle est réalisée dans les deux heures suivant la dégradation neurologique. Il s'agit de dilater la zone de spasme à l'aide d'un ballonnet (angioplastie mécanique) ou par infusion locale intra-artérielle d'un médicament vasodilatateur (angioplastie chimique). L'angioplastie mécanique présente un taux de succès de 90% mais est associée à 5% de complications sévères telles que la rupture du vaisseau, sa thrombose ou sa dissection ou des embolisations plus distales. L'angioplastie chimique est intéressante pour les spasmes plus distaux ou diffus. Plusieurs molécules vasodilatrices ont montré leur efficacité pour la levée du vasospasme : la Papavérine, le Vérapamil, la Nimodipine (25), et plus récemment la Milrinone (26)(27). Les complications de l'angioplastie chimique sont la récidive précoce du spasme en lien avec une courte durée d'action du vasodilatateur, une majoration de la PIC liée à la vasodilatation ou une hypotension artérielle par son effet systémique (24). L'angioplastie mécanique et chimique peuvent être combinées.

Le traitement médical de seconde ligne consiste en la correction d'une anémie avec le recours à la transfusion sanguine pour un objectif d'hémoglobinémie supérieur à 8g/dl (24).

La Milrinone, un inhibiteur de la phosphodiestérase III, peut être utilisée à fortes doses pour son effet vasodilatateur et effet inotope positif permettant d'augmenter le débit cardiaque et améliorer la perfusion cérébrale en cas d'échec des traitements de première ligne (24) (27). Deux études randomisées prospectives sont actuellement en cours en France. L'étude MIVAR évalue l'efficacité de la Milrinone en perfusion intraveineuse (IV) dans le traitement du vasospasme pour améliorer l'état neurologique à 3 mois. L'étude OPTIMIL évalue l'intérêt de la Milrinone en perfusion IV en prévention de l'ICR lors de la période de survenue d'ICR chez des patients à haut risque.

L'enjeu est de diagnostiquer la survenue d'une ICR le plus précocement possible afin d'initier une action thérapeutique avant que des lésions deviennent irréversibles.

Par sa définition (cf supra), le diagnostic d'ICR est clinique (27). Dans le cas des HSAa de haut grade (WFNS supérieur à 3) avec des patients dans le coma ou sédatés, la suspicion d'ICR est difficile et repose sur la détection du vasospasme ou l'identification de signes indirects en monitorage multimodal.

L'échographie Doppler transcrânien (DTC) est une technique non invasive permettant la détection indirecte du vasospasme par la mesure de l'accélération du flux sanguin des artères intracrâniennes de gros calibre. Une vitesse moyenne supérieure à 120cm/s de l'artère cérébrale moyenne et un indice de Lindegraad (correspondant à la vitesse moyenne de l'artère cérébrale moyenne divisée par la

vitesse moyenne de l'artère carotide interne homolatérale dans sa portion extracrânienne) supérieur à 3 permettent de prédire l'ICR avec une bonne sensibilité et une bonne spécificité (respectivement 0.86 (95% CI 0.71–0.94), 0.75 (95% CI 0.560.87)(28). Une augmentation de la vitesse moyenne de l'artère cérébrale moyenne de plus de 50% est également en faveur d'un vasospasme. Le vasospasme est léger lorsque la vitesse moyenne est comprise entre 120cm/s et 150cm/s, modéré lorsqu'elle est comprise entre 150cm/s et 200cm/s et sévère lorsqu'elle est supérieure à 200cm/s et lorsque l'indice de Lindegraad est supérieur à 6.

L'électroencéphalographie (EEG) est une technique de monitorage non invasif et continu pouvant suggérer une ICR. Il est démontré que la diminution des fréquences rapides est un signe précoce d'hypoperfusion et d'ischémie cérébrale. Ainsi, des modifications EEG peuvent précéder un vasospasme visible en imagerie ou détecter l'ICR lorsqu'elle n'est pas liée au spasme des artères de gros calibre. Les modifications EEG principalement liées à l'ischémie sont la baisse du ratio onde alpha/delta, la perte de variabilité de l'onde alpha, le ralentissement focal et les activités épileptiformes (29).

Le monitorage de la pression tissulaire en oxygène, PTiO₂, est une technique invasive de monitorage permettant la détection de l'hypoxie cérébrale. Il existe une linéarité entre la baisse de la PTiO₂ et la sévérité du vasospasme angiographique ou échographique (29). De plus, la PTiO₂ est corrélée au débit sanguin cérébral lorsque la pression artérielle systémique en oxygène et le taux d'hémoglobine sont constants. Le seuil critique d'hypoxie cérébrale est défini par une PTiO₂ inférieure à 20mmHg. Une PTiO₂ basse est associée à une mortalité plus élevée. Le capteur est positionné dans le territoire le plus à risque de vasospasme (30).

Le diagnostic de certitude du vasospasme se fait à l'imagerie cérébrale. Une réduction de calibre de l'artère de 50% est considérée comme un vasospasme sévère. La technique de référence est l'artériographie diagnostique. Il s'agit d'une technique invasive qui se complique dans 1% des cas mais qui permet un traitement endovasculaire si besoin (24).

L'angioscanner cérébral permet, grâce à une injection de produit de contraste, de diagnostiquer un vasospasme proximal avec une bonne sensibilité et une bonne spécificité. Cette technique non invasive, rapide et reproductible est la plus largement utilisée. Il existe néanmoins des faux négatifs ou des interprétations difficiles en présence de clips ou de coïls (31). De même que pour l'angioscanner cérébral, l'IRM cérébrale permet de diagnostiquer un vasospasme cérébral. La technique standard est la séquence time of flight, TOF, ne nécessitant pas d'injection. Avec une bonne valeur prédictive négative, elle permet aussi d'écartier d'autres causes de dégradation neurologique (31).

Le scanner et l'IRM de perfusion permettent une évaluation directe des conséquences d'un vasospasme proximal ou distal sur le parenchyme. Le calcul du débit sanguin cérébral (CBF), du volume sanguin cérébral (CBV), du temps de transit moyen (MTT) et du temps d'atténuation maximal est utilisé pour générer une cartographie de la perfusion cérébrale en couleur (31).

La suspicion d'ischémie cérébrale retardée (ICR) repose aujourd'hui principalement sur le Doppler transcrânien et le monitorage multimodal pour les patients inconscients, avec une confirmation par l'imagerie cérébrale. Toutefois, des travaux récents explorent l'intérêt de biomarqueurs circulants permettant une détection

plus précoce et non invasive de l'ICR (32). Parmi ces biomarqueurs prometteurs, la protéine S100 β suscite un intérêt croissant.

III. La protéine S100 β

La protéine S100 β est identifiée pour la première fois en 1965. Elle se distingue par la présence de deux sites de liaison du calcium. Produite en majorité par les astrocytes, elle est également exprimée par d'autres cellules gliales telles que les oligodendrocytes, les cellules de Schwann et les cellules épendymaires. La protéine S100 β est également retrouvée en dehors du système nerveux, notamment dans les mélanocytes, les cellules de Langerhans, les chondrocytes, les cellules dendritiques des organes lymphoïdes, les cellules de Leydig, les cellules musculaires squelettiques ainsi que dans le tissu adipeux. Elle joue un rôle dans la prolifération, la survie et la différenciation cellulaire par voie autocrine. Elle participe également à la régulation de l'homéostasie calcique (33).

Physiologiquement, la protéine S100 β ne traverse que faiblement la barrière hémato-encéphalique. Sa concentration est environ 10 à 100 fois plus élevée dans le liquide céphalo-rachidien (LCR) que dans le sang. Après lésion du système nerveux central (SNC), sa concentration plasmatique augmente soit par augmentation de sa concentration dans le SNC soit par rupture de la barrière hémato-encéphalique (33).

Cette protéine est identifiée chez des patients atteints de pathologies neurodégénératives telles que la maladie d'Alzheimer (34) et la sclérose latérale amyotrophique ou souffrant d'encéphalomyélite ou de tumeurs intracrâniennes (33).

La protéine S100 β est éliminée par voie rénale. Sa concentration n'est que peu perturbée par une insuffisance rénale. Sa demi-vie est de l'ordre de 30 minutes, son pic de concentration plasmatique est de 2 heures. Dans certaines pathologies libérant la protéine S100 β dans la circulation plasmatique, comme le mélanome malin et le traumatisme crânien, sa demi-vie est augmentée à 90 minutes et 97 minutes respectivement (35).

Il s'agit d'une protéine stable, se conservant facilement plusieurs heures dans le sang total. N'étant pas comprise dans les érythrocytes, sa concentration n'est pas impactée par l'hémolyse. Des méthodes classiques de dosage sérique par immuno-analyse avec révélation par chimioluminescence ont été développées permettant le dosage de la protéine S100 β sur des analyseurs de biochimie courants (35).

La protéine S100 β est un biomarqueur ayant démontré son intérêt dans plusieurs contextes cliniques.

Elle est utilisée dans la pratique courante afin d'aider au triage des patients présentant un traumatisme crânien léger. En effet, un dosage inférieur à 0.10 µg/L dans les 3h suivant un traumatisme crânien permet de prédire l'absence de lésion intracrânienne aigue avec une sensibilité de quasiment 100% (35)(36). Son dosage est intégré dans les recommandations de prise en charge des patients présentant un traumatisme crânien léger (37).

C'est un biomarqueur pronostic de mauvaise évolution de l'encéphalopathie post-anoxique (38). De même, elle présente un intérêt pronostic pour l'identification de patients neurolésés évoluant en mort encéphalique, bien que non utilisée dans la pratique courante faute de seuil clairement défini (39).

On note une élévation de la protéine S100 β dans les accidents vasculaires cérébraux d'origine ischémique (AVCi). Du fait de sa faible spécificité, elle ne présente pas d'intérêt dans le diagnostic des AVCi mais on note une corrélation entre la taille de l'AVCi et la valeur de la protéine S100 β (les AVCi des gros troncs ou corticaux sont associés à une valeur de protéine S100 β plus élevée que les AVCi périphériques). Dans ce cas aussi, la protéine S100 β présente principalement un intérêt pronostic : la protéine S100 β est plus élevée chez les patients évoluant vers l'AVC malin. De même, une protéine S100 β plus élevée est associée à un surrisque de transformation hémorragique après thrombolyse. Une décroissance rapide de la protéine S100 β marque une bonne reperméabilisation après la thrombolyse. Il résulte par-dessus tout que la valeur de la protéine S100 β est corrélée à la taille de l'AVCi final et à la sévérité du déficit neurologique, faisant d'elle un marqueur de mauvais devenir neurologique avec une bonne sensibilité et une bonne spécificité (40) (41).

La protéine S100 β est largement étudiée dans l'HSAa. Plusieurs études ont montré une augmentation rapide de la concentration plasmatique de la protéine S100 β après le saignement, liée aux atteintes neurologiques initiales, l'early brain injury (EBI). Cette augmentation est corrélée à la sévérité des lésions initiales et fait de la protéine S100 β un bon indicateur de la gravité de l'EBI (42). Les patients graves avec un score WFNS élevé (4 ou 5) ont une protéine S100 β significativement plus élevée (43).

Il n'y a pas d'interaction entre la cinétique de la protéine S100 β et le pronostic neurologique à court terme (44). Cependant, elle possède une valeur pronostique à long terme: des concentrations élevées le premier jour suivant l'HSAa (45) et

également dans les 3 à 5 premiers jours suivant l'hémorragie sont associées à un risque accru de mauvais devenir neurologique à long terme (42) (43) (46) (47) (48). Certaines études montrent également qu'un taux élevé de protéine S100 β est associé à une mortalité plus élevée (42) (43). Toutefois, les seuils diffèrent selon les études. Un taux de protéine S100 β bas est associé à une meilleure qualité de vie à 1 an (48).

La protéine S100 β permet de prédire certaines complications de l'HSAa. Une étude montre qu'un taux élevé de protéine S100 β est associé à la perte de l'autorégulation cérébrale. Cette étude montre également qu'un taux élevé de protéine S100 β associé à la perte de l'autorégulation cérébrale peut alerter précocement sur la survenue d'une ICR (44). Une autre étude révèle qu'un taux élevé de protéine S100 β est associé à un plus haut risque de développer une ICR (46). De même, lors de dosage quotidien de la protéine S100 β , une variation de 100% de son taux de base est associée à la survenue d'une ICR (49). Un taux de protéine S100 β élevé est associé à plus de survenue d'hypodensités (43) ou d'ischémies (50) au scanner cérébral. Le taux de protéine S100 β est également associé à la taille de ces hypodensités (50). Toutefois, le lien entre vasospasme et protéine S100 β est plus controversé : si certaines études ne trouvent pas d'association significative (46) (47), Oertel et al. montre que le taux de protéine S100 β est significativement moins élevé à J3 chez les patients développant un vasospasme ultérieurement (43). Dans cette étude, une protéine S100 β basse est un prédicteur significatif du développement du vasospasme.

Ces nombreuses études permettent d'identifier la cinétique quotidienne de la protéine S100 β . Il y a une hausse brutale de la protéine S100 β au moment du

saignement dont le taux est dépendant de la sévérité des lésions neurologiques initiales (42). La protéine S100 β reste stable jusqu'à J1 puis décroît progressivement jusqu'à J15 (51) (45). Lorsque survient une ICR, on observe une nouvelle ascension de la protéine S100 β (51) (49). Les taux de protéine S100 β restent élevés dans les 5 jours suivant la survenue d'ICR (49).

L'objectif de l'étude SkinDCI est de décrire la cinétique horaire de la protéine S100 β lorsqu'une ischémie cérébrale retardée est suspectée chez des patients ayant présenté une HSAa et lorsqu'un traitement endovasculaire est réalisé. Cette étude évaluera également la performance diagnostique de la protéine S100 β pour diagnostiquer une ischémie cérébrale retardée.

MATERIEL ET METHODE

I. Type d'étude

L'étude SkinDCI est une étude prospective, observationnelle et non-interventionnelle.

Cette étude vise à décrire la cinétique de la S100 β lorsque l'équipe soignante suspecte une ischémie cérébrale retardée, puis après traitement d'un vasospasme proximal par angioplastie mécanique si celui-ci est responsable de ladite ischémie.

II. Lieu et période de l'étude

C'est une étude multicentrique menée entre 2021 et 2024 dans les services de réanimation neurologique des hospices civils de Lyon (HCL) et du centre hospitalier universitaire (CHU) de Clermont Ferrand. La durée de participation à l'étude depuis l'inclusion des patients est de maximum 3 semaines.

III. Population étudiée

a. Critères d'inclusion

Sont inclus les patients adultes hospitalisés en réanimation neurologique pour une hémorragie sous-arachnoïdienne et pour qui une ischémie cérébrale retardée est suspectée lors de la prise en charge habituelle. Les patients inclus sont informés des

modalités de l'étude et ont exprimé leur non-opposition. Lorsque les patients n'ont pas la capacité de s'exprimer, les proches sont informés et ont exprimé leur non-opposition. Dans ce cas, la non-opposition du patient lui-même est recueillie dès que son état le permet.

b. Critères de non-inclusion

Ne sont pas inclus : les femmes enceintes ou en cours d'allaitement, les patients sous protection légale, tutelle, curatelle ou sous sauvegarde de justice, les patients faisant l'objet de soins psychiatriques sous la contrainte, les patients s'opposant à participer à l'étude et les patients participant à une étude pouvant interférer avec la présente étude.

c. Nombre de patients

La taille de l'échantillon est définie selon le recrutement des centres de manière pragmatique pour une étude exploratoire. 50 patients sont prévus, répartis de la façon suivante : 30 cas (patients avec une ICR) et 20 contrôles (patients chez qui une ICR est suspectée mais infirmée à l'imagerie cérébrale).

IV. Critères de jugement

a. Critère de jugement principal

Le critère de jugement principal est la mesure de l'évolution de la protéine S100 β au cours des temps de mesure T0, T1h, T2h, T3h, T4 et la survenue d'une ICR.

Lorsque les patients bénéficient d'une angioplastie, le critère de jugement principal est également la mesure de l'évolution de la protéine S100 β au cours des temps de mesure A0, A2h, A4h, A6h, A12h, A24h, de l'efficacité angiographique et clinique de l'angioplastie.

b. Critères de jugement secondaires

Les critères de jugement secondaires sont :

- l'évaluation de la performance diagnostique de la protéine S100 β pour diagnostiquer une ischémie cérébrale retardée
- l'évaluation de la cinétique de la protéine S100 β après angioplastie d'un vasospasme proximal en cas d'ICR confirmée

V. Procédure et intervention

a. Déroulement de l'étude

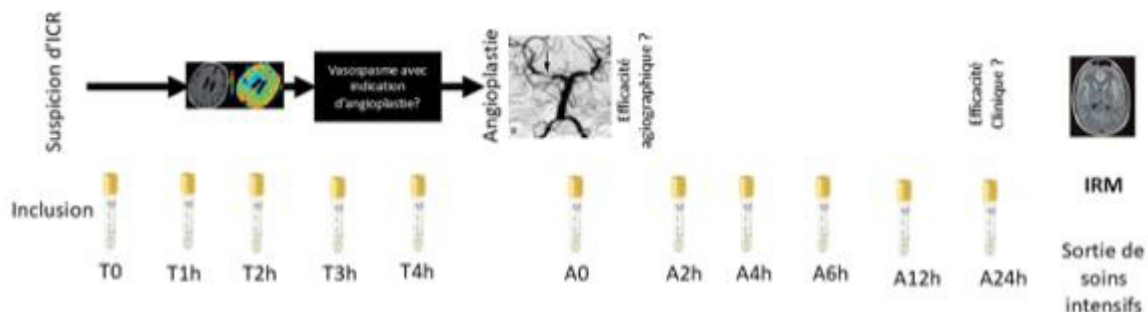
Les patients sont inclus au moment de la suspicion d'ICR. Cinq prélèvements de sérum sont réalisés toutes les heures pendant 4 heures (T0, T1, T42, T3 et T4 ; T0 étant la suspicion d'ICR). Ces prélèvements sont effectués sur cathéter artériel mis en place dans le cadre de la pratique habituelle.

Lorsque l'ICR est suspectée, des mesures de traitements supplémentaires sont parfois effectuées dans le cadre de la pratique clinique habituelle et selon l'appréciation du praticien, comme l'instauration d'un remplissage vasculaire ou d'un traitement vasopresseur par Noradrénaline.

Le diagnostic d'ICR se fait via une imagerie cérébrale avec séquence de perfusion (angio-TDM de perfusion ou angio-IRM de perfusion). Ces imageries sont réalisées selon les délais habituels dans la prise en charge clinique.

L'ICR est définie à l'imagerie par une nouvelle lésion ischémique non présente à l'imagerie réalisée après le traitement de l'anévrysme et/ou une anomalie de perfusion. Ces imageries seront classées en : absence d'ICR, anomalie de perfusion sans ischémie constituée, ischémie avec trouble de perfusion plus volumineux, ischémie constituée.

Figure 3 : Protocole SkinDCI



En cas de décision d'angioplastie, donc si ICR avec vasospasme à l'imagerie, six prélèvements supplémentaires sont réalisés (A0, A2, A4, A6, A12 et A24 ; A0 étant le moment de l'angioplastie mécanique).

L'artériographie et l'angioplastie sont réalisées dans les délais habituels de la prise en charge clinique. La technique d'angioplastie est soit une dilatation au ballonnet soit une angioplastie chimique soit les deux à la fois.

L'efficacité du traitement endovasculaire par angioplastie est estimée par la levée du vasospasme angiographique en fin de procédure.

L'efficacité du traitement endovasculaire par angioplastie à 24h est estimée par l'amélioration de l'examen clinique donc par l'augmentation du score de Glasgow d'au moins 2 points et/ou par la disparition du déficit neurologique.

Les conséquences de l'ICR sont évaluées par une IRM cérébrale réalisée dans le cadre de la pratique clinique habituelle du soin dans les trois semaines qui suivent l'admission du patient en réanimation.

b. Analyses biologiques

Le dosage de la protéine S100 β dans le sérum est réalisée au laboratoire de biologie médiale de chaque hôpital sur des automates de routines, par un kit d'immuno-électroluminescence utilisant la technique sandwich (Cobas, Roche, Mannheim, Germany). Cette technique permet de mesurer une concentration de

S100 β entre 0.005 et 39 $\mu\text{g/l}$, avec une limite de quantification de 0.02 $\mu\text{g/l}$, le coefficient de variation inter-mesure étant de 6.2% à une concentration de 0.2 $\mu\text{g/l}$.

Les échantillons sont analysés pour la S100 β indépendamment dans chaque centre (Lyon ou Clermont Ferrand) à l'aide du même automate et de la même technique de mesure.

c. Lecture d'imageries

Pour l'étude, les imageries cérébrales de perfusion sont relues indépendamment dans chaque centre par un neuroradiologue expérimenté afin de vérifier la classification citée précédemment (absence d'ICR, anomalie de perfusion sans ischémie constituée, ischémie avec trouble de perfusion plus volumineux, ischémie constituée).

Les séquences d'artériographie sont également relues par un neuroradiologue expérimenté afin de confirmer la présence d'un vasospasme et de sa levée après angioplastie.

VI. Collecte des données

Les données cliniques utilisées pour l'étude sont celles mesurées dans le cadre de la pratique clinique habituelle et sont récupérées via le dossier médical informatisé.

Il s'agit :

- des données démographiques : âge, sexe, score de Fischer, score WFNS, localisation et taille de l'anévrysme, modalité de traitement de l'anévrysme (embolisation ou clippage) et éventuelle complication ;

- des données temporelles : date d'admission en réanimation, date de suspicion d'ischémie cérébrale retardée, date et heure de réalisation des imageries cérébrales, date et heure de l'angioplastie, date et heure des prélèvements de la protéine S100 β et des autres marqueurs, date de sortie de réanimation
- les données d'imagerie cérébrale: après traitement de l'anévrysme, lors de la suspicion d'ischémie cérébrale retardée, et l'imagerie cérébrale à la sortie du patient
- les modalités de suspicion d'ICR : examen clinique, échographie Doppler transcrânien, électro-encéphalogramme (EEG), PtIO2
- les données d'angiographie : technique d'angioplastie et succès ou non
- des données biologiques : dosage de la protéine S100 β à l'admission dans le cadre de la prise en charge habituelle, dosage de la protéine S100 β et des autres marqueurs dans le cadre de l'étude

VII. Analyses statistiques

a. Nombres de sujets

L'inclusion de 50 patients permet de mettre en évidence une augmentation de la protéine S100 β d'au moins 0.05 μ g/l/h avec une déviation standard des résidus du modèle mixte de 0.4 et une variance de l'effet aléatoire (effet patient) de 0.05, un risque alpha de 5% et une puissance de 80%.

L'inclusion de 50 patients permet de mettre en évidence une AUC (Area Under Curve (aire sous la courbe)) d'au moins 72% pour prédire une ICR avec un risque alpha de 5% et une puissance de 80%, en répartissant de la façon suivante : 30 cas

(patients avec une ICR) et 20 contrôles (patients chez qui on suspecte une ICR mais qui ont une imagerie cérébrale normale).

Il est estimé que parmi les 50 patients inclus, environ 30 patients bénéficient d'une procédure d'angioplastie. L'inclusion de 30 patients permet de mettre en évidence une baisse d'au moins $0.05\mu\text{g/l/h}$ avec un risque alpha de 5% et une puissance de 80%. Cela permet de mettre en évidence une AUC d'au moins 85% pour diagnostiquer la réussite de la procédure en supposant un nombre de 25 cas (réussite de la procédure) et de 5 contrôles (échec de la procédure).

b. Description des méthodes statistiques

La cinétique des marqueurs lors de la suspicion d'ICR est analysée avec un modèle mixte modélisant leur concentration sérique de S100 β en fonction du temps (T0, T1h, T2h, T3h, T4h) et du résultat de l'imagerie cérébrale (absence d'ICR, trouble de perfusion seul, ischémie et trouble de perfusion plus volumineux, ischémie constituée).

Les effets fixes sont le délai de prélèvement après la suspicion d'ICR (T0, T1h, T2h, T3h, T4h), et le résultat de l'imagerie cérébrale de perfusion (absence d'ICR, trouble de perfusion seul, trouble de perfusion supérieur à une ischémie nouvelle, ischémie constituée). L'effet aléatoire correspond à l'identifiant patient, permettant de prendre en compte les mesures répétées de S100 β chez un même individu.

La cinétique de la S100 β après la réalisation d'une angioplastie est analysée par un modèle linéaire mixte incluant comme effet fixe le délai de prélèvement (A0, A2h,

A4h, A6h, A12h, A24h), le résultat angiographique (levée du vasospasme : oui/non) et le résultat clinique (amélioration : oui/non).

L'analyse des performances diagnostiques de chaque marqueur pour diagnostiquer une ICR est évaluée par l'aire sous la courbe ROC. Sont utilisées la différence entre le T0 et la valeur la plus haute entre T1-4h. Le standard de référence est l'imagerie de perfusion : pas d'ICR versus une anomalie (anomalie de perfusion ou ischémie).

L'analyse des performances diagnostiques de chaque marqueur pour prédire la réussite de la procédure d'angioplastie est évaluée par l'aire sous la courbe ROC. Sont utilisées la différence entre A0 et la valeur minimale entre A2-6h. Le standard de référence est l'amélioration clinique à 24h (disparition d'un déficit ou amélioration du score de Glasgow ≥ 2 points).

Les analyses statistiques sont réalisées à l'aide du logiciel R (R Foundation for Statistical Computing)

XIII. Éthique

a. Autorité compétente

Le protocole de l'étude, la notice d'information et le cahier de recueil de données de l'étude sont approuvés par le Comité de Protection des Personnes (CPP) Ouest II.

b. Information des patients

Les patients sont informés au début de la prise en charge dans le service de réanimation de la possibilité de participer à l'étude Skin DCI en cas de survenue d'une ICR. Cette information sera délivrée de façon complète et loyale, en des termes compréhensibles. Les patients seront informés des modalités de l'étude, de ses objectifs et de leurs droits de refuser de participer à l'étude ou de la possibilité de se rétracter à tout moment. Ainsi les patients ou leur proches lorsque les patients sont inconscients, sont informés en dehors du contexte de l'urgence que représente la prise en charge d'une ICR.

Toutes ces informations figurent sur un formulaire d'information remis au patient ou à son proche. La non-opposition du patient ou de son proche est recueillie avant le début de la recherche et est notifiée dans le dossier du patient. Si le patient est inclus par le biais de la non-opposition de son proche en cas d'impossibilité du patient à donner son consentement, sa non-opposition est recherchée dès que l'état du patient le permet.

c. Déclaration de conformité

Cette recherche est conduite conformément au protocole préalablement validé par le CPP et conformément aux dispositions législatives et réglementaires actuellement en vigueur en France et au niveau international.

RESULTATS

I. Caractéristiques des patients, modalité de suspicion et de traitement d'ischémie cérébrale retardée et devenir des patients

Au total, 41 patients ont été inclus dans l'étude SkinDCI entre 2021 et 2024. Le tableau 1 résume les caractéristiques générales des patients inclus. L'âge médian des patients était de 55 ans [48 - 68]. 54% (n=22) des patients étaient des femmes. La classification WFNS était répartie comme suit : 24% (n=10) des patients étaient classés WFNS 1, 17% (n=7) étaient classés WFNS 2, 9,8% (n=4) étaient classés WFNS 3, 17% (n=7) étaient classés WFNS 4 et 32% (n=13) étaient classés WFNS 5.

Le score de Fisher était de 4 pour 68% (n=28) des patients, 3 pour 29% (n=12) des patients, 2 pour 1 patient. Aucun patient inclus n'avait de score de Fisher à 1. L'anévrysme responsable de l'hémorragie était localisé sur la circulation antérieure dans 89% (n=34) des cas et avait une taille moyenne de 7 mm [4 mm-13 mm].

90% (n=37) des patients ont bénéficié d'une embolisation de l'anévrysme, 7,3% (n=3) des patients ont bénéficié d'un clippage de l'anévrysme et un patient a bénéficié d'une embolisation ainsi que d'un clippage de l'anévrysme. Le délai de sécurisation médian était d'un jour : 33% (n=12) des anévrismes ont été sécurisés le jour du saignement et 59% (n=23) des anévrismes ont été sécurisés dans les 24h suivant le saignement. Le traitement s'est compliqué pour 4 patients et un vasospasme était déjà présent à l'artériographie initiale pour 1 patient. 20% (n=8) des patients ont présenté de nouveaux saignements au scanner cérébral de contrôle à 24h et 71% (n=29) des patients ont nécessité la pose d'une DVE.

Tableau 1 : Caractéristiques générales des patients

	N	Tous les patients N = 41 ¹	ICR N = 25 ¹	Pas d'ICR N = 16 ¹	p-value ²
âge	41	55 (48, 68)	55 (50, 61)	59 (47, 68)	>0.9
sexe	41				0.3
F		22 (54%)	15 (60%)	7 (44%)	
H		19 (46%)	10 (40%)	9 (56%)	
mFisher	41				0.5
2		1 (2.4%)	0 (0%)	1 (6.3%)	
3		12 (29%)	7 (28%)	5 (31%)	
4		28 (68%)	18 (72%)	10 (63%)	
WFNS	41				0.12
1		10 (24%)	4 (16%)	6 (38%)	
2		7 (17%)	6 (24%)	1 (6.3%)	
3		4 (9.8%)	4 (16%)	0 (0%)	
4		7 (17%)	5 (20%)	2 (13%)	
5		13 (32%)	6 (24%)	7 (44%)	
S100B à l'admission (μ g/mL)	30	0.11 (0.07, 0.21)	0.08 (0.06, 0.28)	0.13 (0.10, 0.17)	0.5
Non donné		11	6	5	
Taille de l'anévrysme (mm)	40	7.0 (4.0, 13.0)	7.0 (4.0, 12.3)	7.0 (5.5, 13.3)	0.8
Non donné		1	1	0	
Localisation de l'anévrysme	38				0.3
Circulation antérieure		34 (89%)	21 (95%)	13 (81%)	
Circulation postérieure		4 (11%)	1 (4.5%)	3 (19%)	
Non donné		3	3	0	
Traitemen	41				0.14
chirurgie		3 (7.3%)	3 (12%)	0 (0%)	
embolisation		37 (90%)	22 (88%)	15 (94%)	
les deux		1 (2.4%)	0 (0%)	1 (6.3%)	
Complication du traitement	41				>0.9
non		37 (90%)	22 (88%)	15 (94%)	
oui		4 (9.8%)	3 (12%)	1 (6.3%)	
Délai de sécurisation de l'anévrysme (jours)	39				0.6
0		12 (31%)	5 (22%)	7 (44%)	
1		23 (59%)	15 (65%)	8 (50%)	
2		2 (5.1%)	1 (4.3%)	1 (6.3%)	
12		1 (2.6%)	1 (4.3%)	0 (0%)	
30		1 (2.6%)	1 (4.3%)	0 (0%)	
Non donné		2	2	0	
Resaignement sur TDM à 24H	41				>0.9
non		31 (76%)	19 (76%)	12 (75%)	
oui		8 (20%)	5 (20%)	3 (19%)	
Non donné		2 (4.9%)	1 (4.0%)	1 (6.3%)	
DVE	41				0.3
non		12 (29%)	9 (36%)	3 (19%)	
oui		29 (71%)	16 (64%)	13 (81%)	

¹ Median (IQR); n (%)² Wilcoxon rank sum exact test; Wilcoxon rank sum test; Pearson's Chi-squared test; Fisher's exact test

ICR- Ischémie cérébrale retardée - WFNS : World federation of neurological surgeons – TDM :

Tomodensitométrie - DVE : Déivation ventriculaire externe

L'ischémie cérébrale retardée a été suspectée en médiane 6.8 [5.2, 9.5] jours après la survenue de l'HSAa (Tableau 2). Parmi les 41 patients inclus, le diagnostic d'ICR a été posé suite à une aggravation clinique dans 59% (n=24) des cas, un nouveau déficit dans 46% (n=19) des cas et une baisse du score de Glasgow d'au moins 2 points dans 41% (n=17) des cas. Dans 59% (n=24) des cas, il y a eu une accélération des vélocités à l'échographie Doppler transcrânien. En moyenne, la vitesse systolique de l'artère cérébrale moyenne était de 207 cm/s chez ces patients. Les résultats du Doppler transcrânien étaient manquants dans 24% (n=10) des cas. Dans 83% (n=34), les résultats de la PTiO₂ n'étaient pas donnés et il y avait une baisse de la PTiO₂ dans 12% (n=5) des cas. Les résultats de l'EEG n'étaient pas donnés pour 93% (n=38) des cas et dans 2,6% (n=1) des cas, il y avait un ralentissement à l'EEG. Dans 9,8% (n=4) des cas, l'ICR était suspectée par l'apparition d'une fièvre ou d'une hypertension artérielle. Enfin, dans 22% (n=9) des cas, l'ICR a été retrouvée lors d'une imagerie cérébrale réalisée de manière systématique.

L'ICR a été confirmée par l'imagerie de perfusion dans 56 % (n=21) des cas : dans 24% (n=9) des cas il y avait une ischémie constituée sans mismatch à l'IRM, dans 16% (n=6) des cas il y avait une ischémie avec mismatch et dans 16% (n=6) il y avait des troubles de perfusion au TDM (Tableau 2). Pour 43% (n=16) des cas, l'imagerie de perfusion n'a pas retrouvé d'ICR. Pour 4 patients, aucune imagerie de perfusion n'a été réalisée afin de confirmer la suspicion d'ICR, ces patients ont bénéficié d'une artériographie d'emblée. Il n'y a pas de différence significative dans les caractéristiques des patients entre les deux groupes (Tableau 1).

Tableau 2 : modalité de suspicion d'ICR

	Tous les patients N N = 41 ¹	ICR N = 25 ¹	Pas d'ICR N = 16 ¹	p-value²
Délais ICR (jours)	39 6.8 (5.2, 9.5)	7.7 (6.4, 9.7)	6.2 (4.6, 8.7)	0.2
Non donné		2	2	0
Aggravation clinique	41			0.4
non	17 (41%)	9 (36%)	8 (50%)	
oui	24 (59%)	16 (64%)	8 (50%)	
Nouveau déficit	41			0.12
non	22 (54%)	11 (44%)	11 (69%)	
oui	19 (46%)	14 (56%)	5 (31%)	
Baisse GCS	41			0.8
non	23 (56%)	13 (52%)	10 (63%)	
oui	17 (41%)	11 (44%)	6 (38%)	
Non donné	1 (2.4%)	1 (4.0%)	0 (0%)	
Accélération				
Vitesses DTC	41			0.2
non	7 (17%)	6 (24%)	1 (6.3%)	
oui	24 (59%)	15 (60%)	9 (56%)	
Non donné	10 (24%)	4 (16%)	6 (38%)	
Baisse PtIO2	40			0.8
non	2 (5.0%)	1 (4.0%)	1 (6.2%)	
oui	5 (12%)	4 (16%)	1 (6.2%)	
Non donné	34 (83%)	20 (80%)	14 (87,5%)	
Anomalie EEG	39			>0.9
non	2 (5.1%)	1 (4.0%)	1 (7.1%)	
oui	1 (2.6%)	1 (4.0%)	0 (0%)	
Non donné	38 (93%)	23 (92%)	15 (94%)	
Imagerie cérébrale				
systématique	41			0.017
non	32 (78%)	23 (92%)	9 (56%)	
oui	9 (22%)	2 (8.0%)	7 (44%)	
Imagerie cérébrale				
de perfusion	37			<0.001
ischémie avec				
mismatch	6 (16%)	6 (29%)	0 (0%)	
ischémie sans				
mismatch	9 (24%)	9 (43%)	0 (0%)	
pas d'ICR	16 (43%)	0 (0%)	16 (100%)	
trouble perfusion	6 (16%)	6 (29%)	0 (0%)	
Non donné		4	4	0

¹ Median (IQR); n (%)² Wilcoxon rank sum exact test; Pearson's Chi-squared test; Fisher's exact test

ICR : Ischémie cérébrale retardée - GCS : Glasgow coma score – DTC : Doppler transcrânien – PtIO2 : Pression tissulaire en oxygène - HTA : Hypertension artérielle - EEG : Électroencéphalogramme

L'imagerie cérébrale a retrouvé un vasospasme proximal dans 61% (n=25) des cas. Au total, 18 patients ont présenté une ICR en lien avec un vasospasme, 3 patients ont présenté une ICR sans vasospasme et 7 patients ont présenté un vasospasme sans ICR. Pour 9 patients, il n'y avait ni ICR ni vasospasme. Parmi 4 patients ayant bénéficiés d'une angiographie d'emblée, un vasospasme a été mis en évidence pour deux d'entre eux.

Une angioplastie a été réalisée pour 12 patients (48% des patients avec vasospasme et 29% de tous les patients inclus). 4 patients ont bénéficié d'une angioplastie chimique, 1 patient a bénéficié d'une angioplastie mécanique seule et 6 (50%) patients ont bénéficié des deux techniques combinées.

Pour 92% des patients (n=11 sur 12), l'angioplastie était un succès angiographique en fin d'intervention. 58% (n=7) des patients ayant bénéficié d'une angioplastie se sont améliorés cliniquement 24 heures après l'intervention. Dans 33% (n=4) des cas, il n'y avait pas d'amélioration clinique à 24 heures de l'intervention.

Parmi les patients présentant une ICR confirmée, 41% (n=17) ont bénéficié d'un traitement adjuvant : 9 patients ont bénéficié d'un support vasopresseur par Noradrénaline à visée de thérapie hypertensive, 5 patients ont nécessité un contrôle de l'hypertension artérielle par un anti-hypertenseur, 3 patients ont bénéficié d'un traitement par Milrinone IV et d'un contrôle de l'hypertension artérielle et un patient a bénéficié d'un traitement adjuvant par Milrinone IV seule.

Une imagerie cérébrale a été réalisée à la fin de la période d'inclusion pour 70% (n=31) des patients. Parmi eux, 13 (soit 42% des patients ayant bénéficié d'une

imagerie et 32% des patients inclus) ont présenté des lésions ischémiques à la sortie de la réanimation. 9,7% (n=4) des patients inclus sont décédés pendant la période d'inclusion.

II. Valeurs de la protéine S100 β

A l'admission, la valeur de protéine S100 β était de 0.11 [0.07, 0.21] $\mu\text{g}/\text{mL}$. Au moment de la suspicion d'ICR (T0), la valeur de S100 β était de 0.06 [0.04, 0.09] $\mu\text{g}/\text{ml}$. Elle est restée stable aux 4 temps de prélèvements suivants, respectivement : 0.06 [0.04, 0.09] $\mu\text{g}/\text{ml}$ à T1, 0.06 [0.04, 0.08] $\mu\text{g}/\text{ml}$ à T2, 0.05 [0.04, 0.07] $\mu\text{g}/\text{ml}$ à T3 et de 0.06 $\mu\text{g}/\text{ml}$ [0.05, 0.08] à T4 (Tableau 3).

Tableau 3 : Valeurs médianes de la protéine S100 β aux différents temps de prélèvements

Moment de prélèvement	T0, N = 35 ¹	T1, N = 32 ¹	T2, N = 32 ¹	T3, N = 29 ¹	T4, N = 26 ¹	
S100B ($\mu\text{g}/\text{ml}$)	0.06 (0.04, 0.09)	0.06 (0.04, 0.09)	0.06 (0.04, 0.08)	0.05 (0.04, 0.07)	0.06 (0.05, 0.08)	
Données manquantes	0	0	1	0	2	
Heure de prélèvement	0 (0, 0)	1 (1, 1)	2 (2, 3)	3 (3, 4)	4 (4, 5)	
Moment de prélèvement	A0, N = 11 ¹	A2, N = 13 ¹	A4, N = 13 ¹	A6, N = 13 ¹	A12, N = 11 ¹	A24, N = 12 ¹
S100B ($\mu\text{g}/\text{ml}$)	0.08 (0.05, 0.09)	0.06 (0.05, 0.10)	0.07 (0.05, 0.10)	0.07 (0.04, 0.09)	0.07 (0.04, 0.07)	0.08 (0.05, 0.12)
Données manquantes	0	1	0	0	0	0
Heure de prélèvement	2 (0, 4)	4 (2, 5)	6 (4, 7)	7 (6, 9)	14 (12, 15)	25 (24, 29)

¹ Median (IQR); n (%)

T0, T1, T2, T3 et T4 correspondent aux temps de prélèvements avec T0 le moment de suspicion d'une ICR. A0, A2, A4, A6, A12 et A24 correspondent aux temps de prélèvements après la réalisation de l'angioplastie avec A0 le moment de l'angioplastie.

III. Critère de jugement principal

Tableau 4 : Valeur médiane de la protéine S100 β entre les groupes ICR et sans ICR

	ICR N = 25 ¹	Pas d'ICR N = 16 ¹	p-value ²
S100B T0	0.064 [0.043, 0.106]	0.058 [0.039, 0.083]	0.6
Données manquantes		1	
S100B T1	0.071 [0.045, 0.089]	0.058 [0.030, 0.068]	0.3
Données manquantes	6	3	
S100B T2	0.070 [0.052, 0.089]	0.047 [0.028, 0.074]	0.089
Données manquantes	7	3	
S100B T3	0.061 [0.048, 0.077]	0.046 [0.029, 0.059]	0.11
Données manquantes	8	4	
S100B T4	0.070 [0.056, 0.095]	0.054 [0.035, 0.065]	0.093
Données manquantes	12	5	

¹ Median [IQR]

² Wilcoxon rank sum exact test; Wilcoxon rank sum test

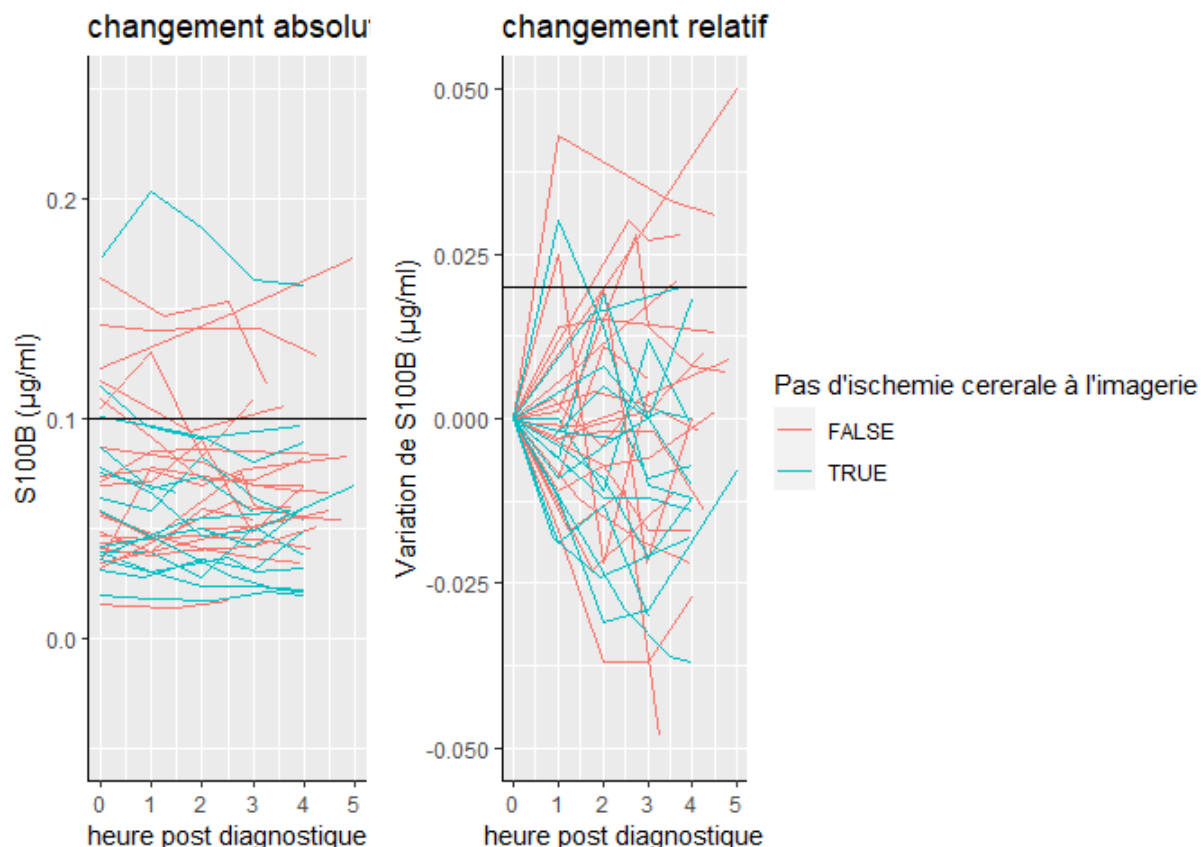
ICR : ischémie cérébrale retardée. T0, T1, T2, T3 et T4 correspondent aux temps de prélèvements avec T0 le moment de suspicion d'une ICR.

Il n'y a pas de différence statistiquement significative de la valeur de la protéine S100 β aux différents temps de prélèvement entre les patients ayant présenté une ICR et ceux sans ICR (Tableau 4). Néanmoins, on observe une tendance à une élévation de la protéine S100 β aux prélèvements T2, T3 et T4 chez les patients présentant une ICR par rapport au groupe sans ICR (Tableau 4).

La figure 4 représente la variation absolue et relative de la valeur de la protéine S100 β en $\mu\text{g/mL}$ au cours de temps. La majorité des valeurs de la protéine S100 β sont basses ($<0.1\mu\text{g/ml}$). Un modèle de régression linéaire mixte ne retrouve pas d'effet du temps écoulé (Estimate = 0.00 [-0.00 – 0.00], p=0.786) ni d'effet de la présence ou non

d'une ICR (Estimate Temps*ICR = -0.00 [-0.00 – 0.00], p=0.092). Le modèle explique 2.4 % de la variance par les effets fixes (R^2 marginal) et 91,5 % en incluant la variabilité interindividuelle (R^2 conditionnel), avec un ICC à 0,91

Figure 4 : courbes de variation absolue et relative de la protéine S100 β aux différents temps de prélèvement



IV. Critères de jugement secondaires

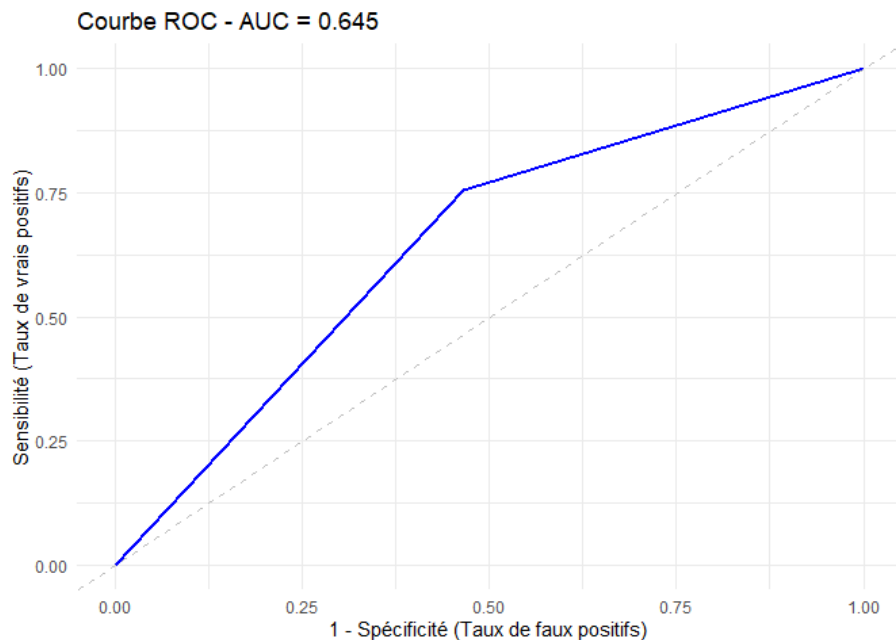
a. Performance de la protéine S100 β pour diagnostiquer une ICR

Nous avons identifié les patients présentant au moins une augmentation de protéine S100 β >0,02 μg/ml des autres. Parmi ceux ayant présenté au moins un pic de protéine S100 β de 0,02 μg/ml, seulement 3 patients (17%) ont une imagerie

cérébrale de perfusion normale. Pour les patients ayant une protéine S100 β stable, 52% (n=13) avaient une imagerie cérébrale normale. Néanmoins, selon la répartition des patients, il semble que la cinétique de la protéine S100 β ne permette pas d'éliminer une ICR.

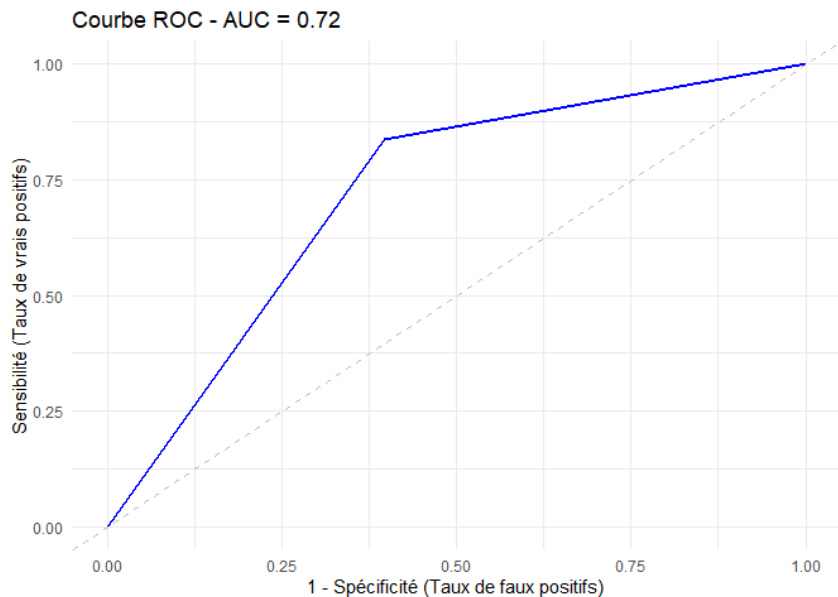
La performance diagnostique de la protéine S100 β , définie par une valeur absolue supérieure à 0,1 μ g/ml, pour discriminer la survenue d'une ICR est évaluée par l'analyse de la courbe ROC (Figure 5). L'aire sous la courbe (AUC) est de 0,645 (IC95% [0.583 ; 0.708]).

Figure 5 : Courbe ROC - Performance diagnostique de la protéine S100 β > 0,1 μ g/ml pour la prédiction d'ICR



La figure 6 est la courbe ROC évaluant la performance diagnostique de l'augmentation de la protéine S100 β de 0,02 μ g/ml pour discriminer la survenue d'une ICR. Elle montre une aire sous la courbe (AUC) de 0,720 (IC95% [0.664 ; 0.769]).

Figure 6 : Courbe ROC - Performance diagnostique de la variation de la protéine S100 β de 0,02 μ g/ml pour la prédiction d'ICR

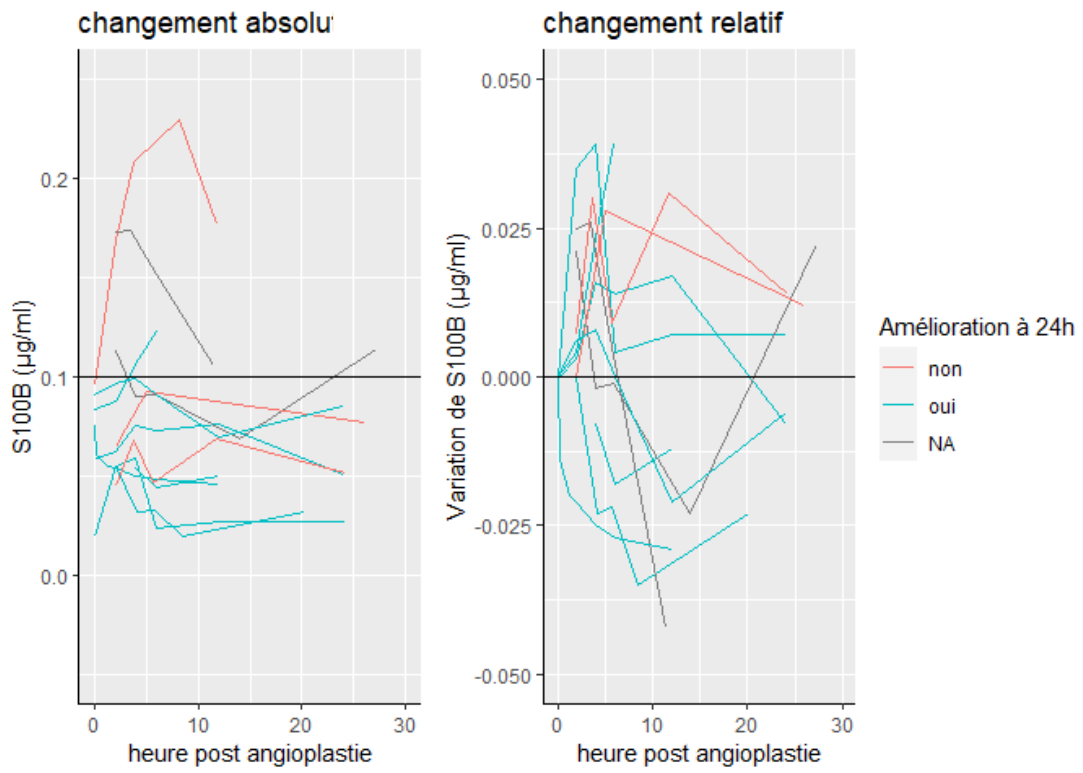


b. Évolution de la protéine S100 β après l'angioplastie

L'angioplastie est réalisée avec succès dans 92% ($n = 11$) des cas. 58% ($n=7$) des patients se sont améliorés cliniquement 24 heures après l'angioplastie. Dans 58% ($n=7$) des cas, une ICR est retrouvée à l'imagerie cérébrale réalisée à la fin de la période d'inclusion.

Pour les 12 patients bénéficiant d'une angioplastie, la valeur de la protéine S100 β était de 0.08 [0.05, 0.09] au moment de l'angioplastie (A0) (Tableau 3). A 2 heures de l'angioplastie (A2) elle était de 0.06 [0.05, 0.10] μ g/ml, à A4 elle était de 0.07 [0.05, 0.10] μ g/ml, à A6 elle était de 0.07 [0.04, 0.09] μ g/ml, à A12 elle était de 0.07 [0.04, 0.07] μ g/ml et à 24 heures de l'angioplastie, elle était de 0.08 [0.05, 0.12] μ g/ml.

Figure 7 : Courbes de variation absolue et relative de la protéine S100 β après l'angioplastie



La figure 7 représente la variation absolue et relative de la valeur de la protéine S100 β en $\mu\text{g/mL}$ au cours de temps après la réalisation de l'angioplastie. Après l'angioplastie, la majorité des valeurs de la protéine S100 β restent basses ($<0.1\mu\text{g/ml}$). Un modèle de régression linéaire mixte retrouve un effet significatif du temps écoulé (Estimate = 0.00 [0.00 – 0.01], p=0.001) et de l'amélioration clinique ou non à 24 heures (Estimate Temps*Amélioration clinique 24h = -0.00 [-0.01 – 0.00], p=0.004) sur les variations de la protéine S100 β . Le modèle explique 70,1 % de la variance par les effets fixes (R^2 marginal) et 84,3 % en incluant la variabilité interindividuelle (R^2 conditionnel), avec un ICC à 0,47.

DISCUSSION

L'objectif de Skin DCI est d'étudier la cinétique de la protéine S100 β lorsqu'une ischémie cérébrale est suspectée et lorsqu'un traitement par angioplastie est réalisé si l'ICR est confirmée par l'imagerie cérébrale de perfusion. Les objectifs secondaires sont d'étudier la performance diagnostique de la protéine S100 β pour le diagnostic d'ICR et d'étudier sa cinétique après réalisation d'un traitement endovasculaire.

Bien que les résultats suggèrent une tendance en faveur d'une augmentation de la protéine S100 β dans le groupe ICR par rapport au groupe sans ICR, l'étude SkinDCI ne retrouve pas de différence statistiquement significative de la cinétique de la protéine S100 β entre les deux groupes. Cette étude n'a pas permis d'identifier une cinétique horaire de la protéine S100 β ou un seuil permettant d'infirmer ou de confirmer la survenue d'une ICR. Après la réalisation d'une angioplastie, la décroissance de la S100 β sur les 24 heures suivant le geste semble associée à l'amélioration clinique et pourrait être utilisée comme un marqueur d'efficacité.

Les caractéristiques des patients inclus dans l'étude sont similaires aux études précédentes sur l'HSAa, avec une population majoritairement féminine et présentant un risque élevé d'ICR selon l'échelle de Fischer modifiée (Figure 2) (3) (18). Les modalités de sécurisation de l'anévrysme sont conformes aux recommandations de bonne pratique avec un délai de sécurisation rapide et peu de complications. Les modalités de suspicion, diagnostic et prise en charge de l'ICR sont également conformes aux recommandations de bonne pratique (13).

Les courbes ROC indiquent qu'une variation du taux de protéine S100 β de 0,02 μ g/ml (AUC=0,720) présente une meilleure performance diagnostique dans la détection de l'ICR qu'une S100 β supérieure à 0,1 μ g/ml (AUC=0,645). Dans de précédents travaux, la valeur dynamique présentait également une meilleure performance que la valeur absolue de la protéine S100 β pour la détection d'ICR. Dans l'étude SkinDCI, les AUC sont toutefois basses, indiquant que la cinétique rapide de la protéine S100 β sur 4 heures ne semble pas suffisante pour diagnostiquer une ICR.

La tendance à l'élévation de la protéine S100 β ne survient qu'à partir du prélèvement réalisé deux heures après la suspicion d'ICR, correspondant au pic plasmatique de la protéine S100 β . En effet, la survenue d'ICR génère une souffrance neuronale libérant la protéine S100 β dans le LCR puis seulement dans le compartiment plasmatique (52) (53). Ce passage du LCR au sang est probablement trop long pour être détecté par des prélèvements sanguins horaires et ne reflète pas une dynamique rapide corrélée à la survenue immédiate d'une ICR.

Dans l'étude SkinDCI, les valeurs de protéine S100 β sont globalement plus basses que dans les études antérieures (0,1 μ g/ml) (45) (51) (43). De même, lorsqu'il y a des variations du taux de la protéine S100 β , celles-ci sont modestes, de l'ordre de 0,02 μ g/ml (Figure 4).

L'ICR étant une complication ischémique de l'HSAa, il est intéressant de faire le parallèle avec l'AVCi. Dans l'AVCi, la valeur de la protéine S100 β augmente tardivement jusqu'à 10h après la survenue de l'AVC (40). Ce délai pouvant correspondre à la phase de "consolidation" de l'infarctus. Plusieurs travaux ont

démontré que les taux de protéine S100 β sont corrélés au volume de tissus cérébral infarcis et constituent un marqueur pronostique de la taille finale de l'AVCi (40) (41). Par analogie, l'ICR correspond à une souffrance neuronale qui n'évolue vers l'ischémie cérébrale constituée qu'en cas de persistance du phénomène et en l'absence de prise en charge thérapeutique, à l'image de la zone de pénombre dans l'AVCi. Il est donc plausible que la libération de S100 β par les neurones impliqués dans l'ICR ne survienne que si la lésion se consolide dans le temps. Dans notre étude, l'instauration précoce d'une prise en charge thérapeutique dès la suspicion d'ICR pourrait avoir contribué à prévenir l'installation d'une souffrance cérébrale durable, expliquant ainsi l'absence de variations significatives de S100 β observées.

L'hétérogénéité de la cinétique de la protéine S100 β dans l'étude SkinDCI peut être expliquée en partie par la complexité du diagnostic d'ICR, reposant sur un faisceau d'arguments comprenant une modification de la clinique, les résultats du monitorage multimodal et parfois une imagerie systématique. T0, le moment de suspicion de l'ICR peut donc correspondre à différents moments de l'évolution de l'ICR, soit juste avant son installation, au tout début de celle-ci, voir lorsqu'elle est déjà constituée.

Le nombre de patients ayant bénéficié d'une angioplastie reste limité, et un seul cas d'échec de procédure a été rapporté. On observe néanmoins une diminution des taux de la protéine S100 β au fil du temps après l'artériographie et de façon corrélée à l'amélioration clinique à 24 heures de l'intervention. À titre de comparaison, dans le contexte de l'AVC ischémique, une élévation de la protéine S100 β après thrombolyse est associée à la survenue d'une complication hémorragique (41), tandis qu'une

diminution de la protéine S100 β à 6 heures d'une thrombolyse indique la recanalisation du vaisseau occlus (40). Dans le contexte de l'ICR, la protéine S100 β pourrait également être un biomarqueur pour l'efficacité d'une angioplastie.

A notre connaissance, aucune autre étude n'évalue spécifiquement la cinétique horaire de la protéine S100 β dans la détection d'ICR compliquant l'HSAa ni la cinétique de la protéine S100 β lors du traitement d'une ICR. Les études précédentes évaluent la cinétique quotidienne de la protéine S100 β suivant une HSAa, sa valeur pronostique et l'intérêt d'un dosage quotidien ou à intervalles plus espacés pour la détection d'une ICR. Il n'y a pas d'étude évaluant l'intérêt de la protéine S100 β dans le suivi de l'efficacité du traitement de l'ICR. L'absence de données comparatives dans la littérature rend difficile la mise en perspective de nos résultats. Des études complémentaires, incluant un plus grand nombre de patients seraient nécessaires pour confirmer la pertinence clinique d'une cinétique rapprochée, préciser la valeur diagnostique de variations rapides de la protéine S100 β et confirmer son intérêt dans le suivi du traitement angioplastique dans le cas d'une ICR.

L'étude SkinDCI comporte des limites. La taille relativement limitée de l'échantillon n'a pas permis d'atteindre une puissance statistique suffisante, ce qui constitue une limite à l'interprétation de nos résultats. Des études incluant un plus grand nombre de patients seront nécessaires afin de confirmer la tendance à l'augmentation de la protéine S100 β lors de la survenue d'une ICR retrouvée dans notre étude.

Afin de renforcer la fiabilité du diagnostic d'ICR, l'imagerie cérébrale de perfusion et l'imagerie de sortie sont relues rétrospectivement, en accord avec la

définition d'ICR de Vergouwen et al. (15) et en aveugle de l'état clinique et du devenir des patients par un neuroradiologue expérimenté de chaque site (Lyon et Clermont-Ferrand). Nous ne pouvons exclure une variabilité inter-observateur devant la relecture par deux radiologues distincts.

Les cliniciens ont accès aux résultats de la protéine S100 β , ce qui pourraient modifier leur pratique clinique. Néanmoins, nous n'avons pas trouvé de différence thérapeutique selon les valeurs de protéine S100 β .

L'étude SkinDCI nécessite le prélèvement rigoureux de la protéine S100 β toutes les heures dès la suspicion d'ICR et jusqu'à 24h après la réalisation d'une artériographie le cas échéant. Il peut être difficile d'intégrer la réalisation de ces prélèvements dans la pratique courante sans retarder la réalisation de l'imagerie cérébrale confirmant l'ICR, la mise en place des traitements symptomatiques et la réalisation d'une artériographie si elle est indiquée. Ainsi, beaucoup de prélèvements sont manquants ou ne sont pas réalisés précisément à l'heure prévue.

L'utilisation des biomarqueurs pourrait jouer un rôle majeur dans la prise en charge des patients après une HSAa. Ils permettraient d'améliorer le diagnostic, l'évaluation de la sévérité et du pronostic, ainsi que le suivi de l'efficacité des traitements (32). Un biomarqueur sérique de l'ICR, suivi intensément en période de risque d'ICR et/ou lors de sa suspicion offrirait la possibilité de la détecter précocement. Cela favoriserait la prise en charge thérapeutique plus rapide et plus agressive avant l'installation de l'ischémie cérébrale, et permettrait de suivre l'efficacité du traitement entrepris. Cependant, l'absence actuelle de biomarqueur unique présentant une sensibilité et une spécificité suffisantes empêche leur intégration dans la pratique

clinique courante. Des recherches supplémentaires sont nécessaires pour préciser leur cinétique (valeurs, pics, demi-vie) afin d'identifier celui ayant une cinétique adaptée à la détection de l'ICR et au suivi de son traitement (54).

Pour la protéine S100 β , des études multicentriques plus larges incluant un plus grand nombre de patients sont nécessaires afin de préciser sa cinétique horaire en cas de survenue d'ICR, sa puissance diagnostique pour l'ICR et lors du suivi du traitement entrepris.

Parmi les autres biomarqueurs prometteurs figurent des marqueurs de lésions cellulaires tels que le GFAP, le NSE, la protéine Tau, les neurofilaments, l'UCHL1 et des marqueurs inflammatoires tels que l'IL-6, HMGB1 et sRAGE (55).

Le GFAP, *Glial fibrillary acidic protein*, est une protéine spécifiquement présente dans les astrocytes et intervient dans la constitution de la barrière hémato-encéphalique (32). Son taux est augmenté dans le sang et dans le LCS en cas d'AVC ischémique ou hémorragique, de démence, d'HSAa et est associé à un mauvais devenir fonctionnel après un traumatisme crânien ou un AVC (54). Dans le cas de l'HSA, on observe une augmentation majeure de son taux à la phase initiale ainsi qu'à 7 jours du saignement. Son taux n'est néanmoins pas associé à la survenue de vasospasme (54). Un taux élevé à J1 et à J7 est corrélé à un mauvais pronostic neurologique (56). Un taux élevé tardivement chez les patients n'évoluant pas favorablement peut être expliqué par la survenue d'ischémie cérébrale retardée.

L'UCHL1, *ubiquitin carboxy-terminal hydrolase L1*, est une enzyme spécifique des neurones et des cellules neuroendocrines. Elle représente 1-2% des protéines solubles du cerveau et est principalement présente dans les cellules dendritiques de

la substance grise (32) (54). Si toutes les études ne retrouvent un taux d'UICHL1 significativement plus élevé à la phase initiale, un taux élevé d'UICHL1 à J5, J7 et jusqu'à J10 chez les patients atteints d'HSA est corrélé à un mauvais devenir neurologique (54) (56) (57). Cette augmentation retardée, coïncidant avec la période de vasospasme et d'ICR, suggère que l'élévation du taux d'UICHL1 pourrait être liée à une ICR. La détection précoce de la majoration du taux d'UICHL1, notamment du fait de sa petite taille permettant un passage intravasculaire rapide, pourrait prédire une ICR avant la survenue de signes cliniques ou avant que l'ICR ne soit visible à l'imagerie cérébrale (56).

La protéine Tau est un composant de la stabilité des microtubules neuronaux. L'élévation de son taux dans le LCS et dans le sang traduit une atteinte axonale. Des mesures répétées de la protéine Tau en microdialyse cérébrale chez des patients atteints d'HSAa retrouvent une protéine Tau élevée à la phase initiale, significativement associée à une dysfonction mitochondriale et détresse métabolique et non associée à la sévérité de l'EBI. Elle décroît jusqu'à J4 et reste stable au-delà. Une élévation de la protéine Tau entre J3 et J9 est associée à la survenue d'ICR et à un moins bon devenir neurologique à 3 mois (58).

Les neurofilaments sont des protéines structurales du cytosquelette axonal. Leur taux augmente dans le LCS et dans le plasma en cas de lésion axonale ou de mort neuronale (59). Des études dans le cas de l'HSAa retrouvent un taux de neurofilaments dans le LCS plus élevé (54) ainsi qu'une ré-augmentation secondaire (après le 5^{ème} jour) chez les patients présentant une évolution défavorable. Le taux de neurofilament à J10 et J14 est significativement plus élevé chez les patients présentant

des complications secondaires tels que resaignement, ischémie et présentant des lésions secondaires à l'imagerie (59). A l'inverse, les patients avec une évolution favorable ont un taux initial de neurofilaments plus bas voir normal (60).

Le NSE, *neuron specific enolase*, est le biomarqueur le plus étudié après la protéine S100 β dans l'HSAa. C'est une isoenzyme localisée dans le cytoplasme des neurones et relâchée dans le LCR et dans le sang après des lésions neuronales (54). Lors d'une HSAa, il y a une élévation précoce du NSE, corrélée à la gravité initiale de l'HSA (43). Si le NSE n'est pas associé au vasospasme, on note une élévation significative de son taux entre J5 et J7, correspondant à la période à risque d'ICR (45). Il y a une corrélation entre la valeur du NSE et l'incidence d'hypodensité au TDM cérébral réalisé à distance d'une HSA (43).

L'apolipoprotéine E (ApoE) est une protéine polymorphe produite par le foie et les cellules astrocytaires. Au niveau cérébral elle intervient dans la modulation de l'inflammation, dans la séquestration des radicaux libres, dans le maintien de l'intégrité membranaire des neurones et la réparation neuronale. Connue pour son implication dans la maladie d'Alzheimer, l'allèle ApoE4 est également associé à un moins bon devenir neurologique et à la survenue d'ICR chez les patients ayant présenté une HSAa (61). La baisse du taux d'ApoE dans le LCS est associée à un mauvais devenir neurologique (54). Par ailleurs, la supplémentation par un peptide mimétique de l'ApoE chez la souris améliore le devenir, baisse la mortalité et réduit la survenue de vasospasme (54).

Nous avons développé dans l'introduction le rôle de l'inflammation dans la survenue de l'ICR. En ce sens, plusieurs médiateurs ou marqueurs inflammatoires s'identifient comme potentiels biomarqueurs de l'ICR en contexte d'HSAa.

Il existe une élévation de la CRP dans le LCS et dans le sang lors de la survenue d'une HSAa (62). Une CRP élevée est associée à un vasospasme et à un mauvais devenir neurologique (63), avec un pic le troisième jour après l'admission. La CRP est corrélée au taux de protéine S100 β chez les patients ayant présenté une HSAa (44). Un taux élevé de CRP ultra-sensible à J0, J7 et jusqu'à J14 est un prédicteur de survenue d'ICR (54). La CRP étant un marqueur systémique d'infection ou d'inflammation, son utilisation en pratique courante comme un biomarqueur d'ICR reste néanmoins limitée (32). L'interleukine 6 (IL-6) est une cytokine pro-inflammatoire libérée en réponse à l'agression cérébrale. L'IL-6 augmente dans le sang et dans le LCR des patients ayant présenté une HSAa (64) et est associée à un mauvais devenir neurologique (54). Une augmentation de IL-6 notamment entre J4 et J14 est associée à la survenue d'ICR (65) et de vasospasme (64).

L'HMGB1, *High mobility group box 1 protein*, est une protéine nucléaire libérée lors de l'activation immunitaire ou lors de la mort cellulaire. Elle joue un rôle central dans l'amplification de la réponse inflammatoire par la libération de cytokines pro-inflammatoires telle que l'IL-6 lorsqu'elle est liée à la forme soluble du récepteur RAGE (sRAGE) (66). La détection de HMGB1 et sRAGE dans le sang est associée à un mauvais devenir neurologique chez les patients ayant présenté une HSAa (54). Les taux de HMGB1 (67) et sRAGE sont corrélés à la survenue d'ICR (20).

L'ensemble de ces marqueurs suscite un intérêt croissant ces dernières années et la cinétique de certains marqueurs est déjà en cours d'étude. Le dosage du GFAP, de la protéine Tau, des neurofilaments et de l'UCHL1 sont effectués sur les prélèvements réalisés dans le cadre de l'étude SkinDCI et leur cinétique sera étudiée selon les mêmes modalités que pour la protéine S100 β .

Ce travail constitue une base intéressante pour la compréhension de l'évolution de la protéine S100 β lors de la survenue d'une ICR et lors de son traitement. Des études incluant un effectif plus large seront nécessaires pour confirmer ces observations et préciser la place de la S100 β parmi les biomarqueurs du suivi de l'ICR.

CONCLUSION

L'ischémie cérébrale retardée (ICR) est une complication majeure de l'hémorragie sous arachnoïdienne (HSA) anévrismale touchant 30 à 40 % des patients. Le traitement de l'ICR associée au vasospasme repose sur l'angioplastie. En l'absence de prise en charge, l'ICR entraîne des lésions ischémiques cérébrales irréversibles à l'origine d'un mauvais pronostic neurologique. La prise en charge précoce de la survenue d'une ICR constitue donc un enjeu majeur. Pourtant le diagnostic est par définition clinique et reste donc difficile surtout chez les patients comateux ou sédatés. Dans ce cas, il combine Doppler transcrânien, monitorage multimodal et imagerie cérébrale. La protéine S100 β est une protéine astrocytaire libérée dans le sang lorsqu'apparaît une lésion cérébrale. Déjà utilisée dans le traumatisme crânien et l'AVC ischémique comme marqueur pronostic, elle est également corrélée à la sévérité initiale et au devenir neurologique après HSA. Dans ce contexte, son élévation précoce reflète l'early brain injury et ses variations secondaires peuvent annoncer la survenue d'une ICR. Des dosages quotidiens montrent une cinétique caractéristique : pic initial, décroissance progressive, puis nouvelle élévation en cas d'ICR.

L'étude SkinDCI est une étude multicentrique, observationnelle et prospective de 2021 à 2024 visant à préciser la cinétique horaire de la S100 β lorsqu'une ICR est suspectée après HSA anévrismale, à évaluer sa valeur diagnostique et son intérêt pour mesurer l'efficacité des traitements endovasculaires.

41 patients ont été inclus dans deux centres, avec un âge médian de 55ans [48 - 68] admis en réanimation pour une HSA sur une rupture d'un anévrysme de la circulation antérieure dans 89% (n=34) de cas. Ils ont présenté une suspicion d'ischémie cérébrale retardée 6.8 jours [5.2, 9.5] après l'HSAa dont 43% (n=16) n'avaient pas d'ICR retrouvée à l'imagerie de perfusion. L'ICR a été suspectée sur une aggravation clinique dans 59% (n=24) des cas, une accélération des vitesses du Doppler transcrânien dans 59% (n=24) des cas, une baisse de la PtO₂ dans 12% (n=5) des cas, l'apparition d'anomalies à l'EEG dans 2.6% (n=1) des cas, ou dans le cadre d'une imagerie de perfusion réalisée de manière systématique dans 21% (n=9) des cas. La valeur de S100 β au moment de la suspicion d'ICR était de 0.06 µg/ml [0.04 ;0.09], et reste stable pendant les 4 heures suivant la suspicion. Un modèle de régression linéaire mixte n'a pas retrouvé d'interaction significative entre le moment du prélèvement (0, 1h, 2h, 3h, 4h) et l'absence d'ICR sur l'imagerie de perfusion.

L'étude SkinDCI ne permet pas d'affirmer qu'il y a une différence statistiquement significative de la cinétique horaire de la protéine S100 β entre les patients présentant une ICR et ceux n'en présentant pas mais retrouve une tendance à l'élévation de la protéine S100 β à partir de 2 heures après la suspicion d'ICR. La cinétique rapide de la protéine S100 β sur 4h ne semble pas suffisante pour diagnostiquer une ICR.

Après la réalisation d'une angioplastie, la décroissance de la S100 β sur les 24 heures suivant le geste semble associée à l'amélioration clinique et pourrait être utilisée comme un marqueur d'efficacité.

Il existe d'autres marqueurs biologiques de lésions cellulaires ou de neuro-inflammation (tels que le NSE, le GFAP, la protéine tau, le neurofilament, UCHL1, HMGB1, sRAGE) ayant une libération rapide en cas de lésion cérébrale. Il serait

intéressant d'étudier leur cinétique, encore peu connue, notamment en cas de survenue d'ischémie cérébrale retardée.

Professeur Julien POTTECHER
PUAPH - Chef de Service
Dr. de Recherche-Réanimateur et Médecine Pré-Opératoire
HÔPITAUX UNIVERSITAIRES DE STRASBOURG
Hôpital de Hautepierre
67058 STRASBOURG CEDEX
Tél.: 03 88 12 70 95 / Secr.: 03 88 12 70 75
E-mail: julien.pottecher@chru-strasbourg.fr
N° RPPS : 1000163156 2

VU

Strasbourg, le 11 septembre 2025

Le président du jury de thèse

Professeur Julien POTTECHER

VU et approuvé

Strasbourg, le 15 SEP. 2025

Le Doyen de la Faculté de

Médecine, Maïeutique et Sciences de la Santé

Professeur Jean SIBILIA



BIBLIOGRAPHIE

1. Sanicola HW, Stewart CE, Luther P, Yabut K, Guthikonda B, Jordan JD, et al. Pathophysiology, Management, and Therapeutics in Subarachnoid Hemorrhage and Delayed Cerebral Ischemia: An Overview. *Pathophysiology*. 14 sept 2023;30(3):420-42.
2. Macdonald RL, Schweizer TA. Spontaneous subarachnoid haemorrhage. *The Lancet*. févr 2017;389(10069):655-66.
3. Claassen J, Park S. Spontaneous subarachnoid haemorrhage. *The Lancet*. sept 2022;400(10355):846-62.
4. Etminan N, Chang HS, Hackenberg K, de Rooij NK, Vergouwen MDI, Rinkel GJE, et al. Worldwide Incidence of Aneurysmal Subarachnoid Hemorrhage According to Region, Time Period, Blood Pressure, and Smoking Prevalence in the Population: A Systematic Review and Meta-analysis. *JAMA Neurol*. 1 mai 2019;76(5):588-97.
5. Beydon L. Annales Françaises d'Anesthésie et de Réanimation : Hémorragie sous-arachnoïdienne (HSA) grave. *Ann Fr Anesth Réanimation*. juill 2005;24(7):713-4.
6. Mackey J, Khouri JC, Alwell K, Moomaw CJ, Kissela BM, Flaherty ML, et al. Stable incidence but declining case-fatality rates of subarachnoid hemorrhage in a population. *Neurology*. 22 nov 2016;87(21):2192-7.
7. Long B, Koyfman A, Runyon MS. Subarachnoid Hemorrhage. *Emerg Med Clin North Am*. nov 2017;35(4):803-24.

8. Joseph P. Broderick, Thomas G. Brott, John E. Duldner, Thomas Tomsick, Alan Leach. Initial and recurrent bleeding are the major causes of death following subarachnoid hemorrhage. 1994. Disponible sur:
<https://www.ahajournals.org/doi/epdf/10.1161/01.STR.25.7.1342>
9. Rinkel GJ, Algra A. Long-term outcomes of patients with aneurysmal subarachnoid haemorrhage. Lancet Neurol. avr 2011;10(4):349-56.
10. Nieuwkamp DJ, Setz LE, Algra A, Linn FH, De Rooij NK, Rinkel GJ. Changes in case fatality of aneurysmal subarachnoid haemorrhage over time, according to age, sex, and region: a meta-analysis. Lancet Neurol. juill 2009;8(7):635-42.
11. Passier PECA, Visser-Meily JMA, Rinkel GJE, Lindeman E, Post MWM. Life Satisfaction and Return to Work After Aneurysmal Subarachnoid Hemorrhage. J Stroke Cerebrovasc Dis. juill 2011;20(4):324-9.
12. Annemarie W. van Heuven, Sanne M. Dorhout Mees, Ale Algra, Gabriel J.E. Rinkel. Stroke. 2008. Validation of a Prognostic Subarachnoid Hemorrhage Grading Scale Derived Directly From the Glasgow Coma Scale | Stroke. Disponible sur:
https://www.ahajournals.org/doi/10.1161/STROKEAHA.107.498345?url_ver=Z39.88-2003&rfr_id=ori:rid:crossref.org&rfr_dat=cr_pub%20%20pubmed
13. 2023 Guideline for the Management of Patients With Aneurysmal Subarachnoid Hemorrhage: A Guideline From the American Heart Association/American Stroke Association [Internet]. Disponible sur:
<https://www.ahajournals.org/doi/epub/10.1161/STR.0000000000000436>

14. Steiner T, Juvela S, Unterberg A, Jung C, Forsting M, Rinkel G, et al. European Stroke Organization guidelines for the management of intracranial aneurysms and subarachnoid haemorrhage. *Cerebrovasc Dis Basel Switz.* 2013;35(2):93-112.
15. Vergouwen MDI, Vermeulen M, Van Gijn J, Rinkel GJE, Wijdicks EF, Muizelaar JP, et al. Definition of Delayed Cerebral Ischemia After Aneurysmal Subarachnoid Hemorrhage as an Outcome Event in Clinical Trials and Observational Studies: Proposal of a Multidisciplinary Research Group. *Stroke.* oct 2010;41(10):2391-5.
16. Gijn J van, Kerr RS, Rinkel GJ. Subarachnoid haemorrhage. *The Lancet.* 27 janv 2007;369(9558):306-18.
17. Wong GKC, Nung RCH, Sitt JCM, Mok VCT, Wong A, Ho FLY, et al. Location, Infarct Load, and 3-Month Outcomes of Delayed Cerebral Infarction After Aneurysmal Subarachnoid Hemorrhage. *Stroke.* nov 2015;46(11):3099-104.
18. Claassen J, Bernardini GL, Kreiter K, Bates J, Du YE, Copeland D, et al. Effect of Cisternal and Ventricular Blood on Risk of Delayed Cerebral Ischemia After Subarachnoid Hemorrhage: The Fisher Scale Revisited. *Stroke.* sept 2001;32(9):2012-20.
19. Mounier R, Martin M, Cook F, Plaud B, Dhonneur G. Déficit ischémique secondaire et hémorragie méningée, un nouveau paradigme. *Anesth Réanimation.* 1 déc 2016;2(6):391-400.
20. Frontera JA, Fernandez A, Schmidt JM, Claassen J, Wartenberg KE, Badjatia N, et al. Defining Vasospasm After Subarachnoid Hemorrhage: What Is the Most Clinically Relevant Definition? *Stroke.* juin 2009;40(6):1963-8.

21. Budohoski KP, Guilfoyle M, Helmy A, Huuskonen T, Czosnyka M, Kirolos R, et al. The pathophysiology and treatment of delayed cerebral ischaemia following subarachnoid haemorrhage. *J Neurol Neurosurg Psychiatry.* déc 2014;85(12):1343-53.
22. Microthrombosis after Aneurysmal Subarachnoid Hemorrhage: An Additional Explanation for Delayed Cerebral Ischemia - Mervyn DI Vergouwen, Marinus Vermeulen, Bert A Coert, Erik SG Stroes, Yvo BWEM Roos, 2008 [Internet]. Disponible sur:
https://journals-sagepub-com.scd-rproxy.u-strasbg.fr/doi/10.1038/jcbfm.2008.74?url_ver=Z39.88-2003&rfr_id=ori:rid:crossref.org&rfr_dat=cr_pub%20%20pubmed
23. Dorhout Mees S, Rinkel GJ, Feigin VL, Algra A, Van Den Bergh WM, Vermeulen M, et al. Calcium antagonists for aneurysmal subarachnoid haemorrhage. *Cochrane Stroke Group*, éditeur. *Cochrane Database Syst Rev* [Internet]. 18 juill 2007. Disponible sur:
<https://doi.wiley.com/10.1002/14651858.CD000277.pub3>
24. Francoeur CL, Mayer SA. Management of delayed cerebral ischemia after subarachnoid hemorrhage. *Crit Care.* déc 2016;20(1):277.
25. The Participants in the International Multi-disciplinary Consensus Conference on the Critical Care Management of Subarachnoid Hemorrhage, Kimball MM, Velat GJ, Hoh BL. Critical Care Guidelines on the Endovascular Management of Cerebral Vasospasm. *Neurocrit Care.* oct 2011;15(2):336-41.
26. Shankar JJS, P. Dos Santos M, Deus-Silva L, Lum C. Angiographic evaluation of the effect of intra-arterial milrinone therapy in patients with vasospasm from aneurysmal subarachnoid hemorrhage. *Neuroradiology.* févr 2011;53(2):123-8.

27. Fraticelli AT, Cholley BP, Losser MR, Saint Maurice JP, Payen D. Milrinone for the Treatment of Cerebral Vasospasm After Aneurysmal Subarachnoid Hemorrhage. *Stroke.* mars 2008;39(3):893-8.
28. Schenck H, van Craenenbroeck C, van Kuijk S, Gommer E, Veldeman M, Temel Y, et al. Systematic review and meta-analysis of transcranial doppler biomarkers for the prediction of delayed cerebral ischemia following subarachnoid hemorrhage. *J Cereb Blood Flow Metab.* 20 mars 2025;0271678X251313746.
29. Labak CM, Shammassian BH, Zhou X, Alkhachroum A. Multimodality Monitoring for Delayed Cerebral Ischemia in Subarachnoid Hemorrhage: A Mini Review. *Front Neurol [Internet].* 13 avr 2022. Disponible sur: <https://www.frontiersin.org/journals/neurology/articles/10.3389/fneur.2022.869107/full>
30. Veldeman M, Albanna W, Weiss M, Park S, Hoellig A, Clusmann H, et al. Invasive Multimodal Neuromonitoring in Aneurysmal Subarachnoid Hemorrhage: A Systematic Review. *Stroke.* nov 2021;52(11):3624-32.
31. Mills JN, Mehta V, Russin J, Amar AP, Rajamohan A, Mack WJ. Advanced Imaging Modalities in the Detection of Cerebral Vasospasm. *Neurol Res Int.* 2013;2013:415960.
32. Biomarqueurs et cerveau.pdf [Internet]. Disponible sur: <https://www.mapar.org/article/1/Communication%20MAPAR/matbsfy9/Biomarqueurs%20et%20cerveau.pdf>

33. Michetti F, Corvino V, Geloso MC, Lattanzi W, Bernardini C, Serpero L, et al. The S100B protein in biological fluids: more than a lifelong biomarker of brain distress. *J Neurochem.* 2012;120(5):644-59.
34. Chaves ML, Camozzato AL, Ferreira ED, Piazenski I, Kochhann R, Dall'Igna O, et al. Serum levels of S100B and NSE proteins in Alzheimer's disease patients. *J Neuroinflammation.* 27 janv 2010;7(1):6.
35. Beaudeux JL. La protéine S100B, premier marqueur pour le diagnostic biologique du traumatisme crânien léger. *Bull Académie Natl Médecine.* 1 juin 2024;208(6):832-42.
36. Oris C, Kahouadji S, Durif J, Bouvier D, Sapin V. S100B, Actor and Biomarker of Mild Traumatic Brain Injury. *Int J Mol Sci.* janv 2023;24(7):6602.
37. Gil-Jardiné C, Payen JF, Bernard R, Bobbia X, Bouzat P, Catoire P, et al. Management of patients suffering from mild traumatic brain injury 2023. *Anaesth Crit Care Pain Med.* août 2023;42(4):101260.
38. Ziani S, Bertho N, Atlan G, Fievet ML, Ecollan P, Beaudeux JL. Intérêt pronostique du dosage de la protéine S-100B sérique au décours d'un arrêt cardiaque en milieu extrahospitalier : données préliminaires françaises. *Ann Biol Clin (Paris).* 1 janv 2010;68(1):33-8.
39. Lopes AN, Regner A, Simon D. The Role of S100b Protein Biomarker in Brain Death: A Literature Review. *Cureus [Internet].* 19 juin 2024. Disponible sur: <https://www.cureus.com/articles/260864-the-role-of-s100b-protein-biomarker-in-brain-death-a-literature-review>

40. Dassan P, Keir G, Brown MM. Criteria for a Clinically Informative Serum Biomarker in Acute Ischaemic Stroke: A Review of S100B. *Cerebrovasc Dis.* 6 févr 2009;27(3):295-302.
41. Qu Y, Jin H, Abuduxukuer R, Qi S, Si XK, Zhang P, et al. The association between serum S100 β levels and prognosis in acute stroke patients after intravenous thrombolysis: a multicenter prospective cohort study. *BMC Med.* 3 oct 2024;22:304.
42. Balança B, Ritzenthaler T, Gobert F, Richet C, Bodonian C, Carrillon R, et al. Significance and Diagnostic Accuracy of Early S100B Serum Concentration after Aneurysmal Subarachnoid Hemorrhage. *J Clin Med.* 5 juin 2020;9(6):1746.
43. Oertel M, Schumacher U, McArthur DL, Kästner S, Böker DK. S-100B and NSE: markers of initial impact of subarachnoid haemorrhage and their relation to vasospasm and outcome. *J Clin Neurosci.* 1 oct 2006;13(8):834-40.
44. Uryga A, Czyż M, Adamik B, Tabakow P, Kasprowicz M, Burzyńska M. Serum biomarkers and cerebral autoregulation as early warnings of delayed cerebral ischemia risk in patients after aneurysmal subarachnoid haemorrhage. *J Clin Neurosci Off J Neurosurg Soc Australas.* mai 2021;87:35-43.
45. Quintard H, Leduc S, Ferrari P, Petit I, Ichai C. Early and persistent high level of PS 100 β is associated with increased poor neurological outcome in patients with SAH: is there a PS 100 β threshold for SAH prognosis? *Crit Care.* 3 févr 2016;20:33.
46. Lai PMR, Du R. Association between S100B Levels and Long-Term Outcome after Aneurysmal Subarachnoid Hemorrhage: Systematic Review and Pooled Analysis. Ai J, éditeur. *PLOS ONE.* 23 mars 2016;11(3):e0151853.

47. Weiss N, Sanchez-Peña P, Roche S, Beaudeux JL, Colonne C, Coriat P, et al. Prognosis value of plasma S100B protein levels after subarachnoid aneurysmal hemorrhage. *Anesthesiology*. avr 2006;104(4):658-66.
48. Aineskog H, Johansson C, Nilsson R, Koskinen LOD, Lindvall P. Serum S100B correlates with health-related quality of life and functional outcome in patients at 1 year after aneurysmal subarachnoid haemorrhage. *Acta Neurochir (Wien)*. 2022;164(8):2209-18.
49. Aupetitgendre L. Intérêt d'un dosage quotidien de la protéine s100b pour prédire la survenue d'une ischémie cérébrale retardée compliquée d'infarctus cérébral après une hémorragie sous-arachnoïdienne anévrismale. 2019;
50. Jung CS, Lange B, Zimmermann M, Seifert V. CSF and Serum Biomarkers Focusing on Cerebral Vasospasm and Ischemia after Subarachnoid Hemorrhage. *Stroke Res Treat*. 2013;2013(1):560305.
51. Sanchez-Peña P, Pereira AR, Sourour NA, Biondi A, Lejean L, Colonne C, et al. S100B as an additional prognostic marker in subarachnoid aneurysmal hemorrhage. *Crit Care Med*. août 2008;36(8):2267-73.
52. Kleindienst A, Schmidt C, Parsch H, Emtmann I, Xu Y, Buchfelder M. The Passage of S100B from Brain to Blood Is Not Specifically Related to the Blood-Brain Barrier Integrity. *Cardiovasc Psychiatry Neurol*. 2010;2010:801295.
53. Kleindienst A, Meissner S, Eyupoglu IY, Parsch H, Schmidt C, Buchfelder M. Dynamics of S100B Release into Serum and Cerebrospinal Fluid Following Acute Brain Injury. In: Czernicki Z, Baethmann A, Ito U, Katayama Y, Kuroiwa T, Mendelow D, éditeurs. *Brain*

Edema XIV [Internet]. Vienna: Springer Vienna; 2010. p. 247-50. (Acta Neurochirurgica Supplementum; vol. 106). Disponible sur: http://link.springer.com/10.1007/978-3-211-98811-4_46

54. Hong CM, Tosun C, Kurland DB, Gerzanich V, Schreibman D, Simard JM. Biomarkers as outcome predictors in subarachnoid hemorrhage – a systematic review. *Biomarkers*. 1 mars 2014;19(2):95-108.
55. Jabbarli R, Pierscianek D, Darkwah Oppong M, Sato T, Dammann P, Wrede KH, et al. Laboratory biomarkers of delayed cerebral ischemia after subarachnoid hemorrhage: a systematic review. *Neurosurg Rev*. juin 2020;43(3):825-33.
56. Auricchio AM, Baroni S, Jahromi BR, Gris AV, Sturiale CL, Ceccarelli GM, et al. Predicting Role of GFAP and UCH-L1 biomarkers in Spontaneous Subarachnoid Hemorrhage: a preliminary study to evaluate in the short-term their correlation with severity of bleeding and prognosis. *J Clin Neurosci*. 1 août 2024;126:119-27.
57. Kiiski H, Tenhunen J, Ala-Pejari M, Huhtala H, Hämäläinen M, Långsjö J, et al. Increased plasma UCH-L1 after aneurysmal subarachnoid hemorrhage is associated with unfavorable neurological outcome. *J Neurol Sci*. 15 févr 2016;361:144-9.
58. Heilig M, Rass V, Lindner A, Kofler M, Ianosi BA, Gaasch M, et al. Brain microdialysate tau dynamics predict functional and neurocognitive recovery after poor-grade subarachnoid haemorrhage. *Brain Commun*. 2 janv 2023;5(1):fcac342.

59. Lad SP, Hegen H, Gupta G, Deisenhammer F, Steinberg GK. Proteomic Biomarker Discovery in Cerebrospinal Fluid for Cerebral Vasospasm Following Subarachnoid Hemorrhage. *J Stroke Cerebrovasc Dis.* janv 2012;21(1):30-41.
60. Petzold A, Keir G, Kay A, Kerr M, Thompson EJ. Axonal damage and outcome in subarachnoid haemorrhage. *J Neurol Neurosurg Psychiatry.* juin 2006;77(6):753-9.
61. Lanterna LA, Ruigrok Y, Alexander S, Tang J, Biroli F, Dunn LT, et al. Meta-analysis of *APOE* genotype and subarachnoid hemorrhage: Clinical outcome and delayed ischemia. *Neurology.* 21 août 2007;69(8):766-75.
62. Fountas KN, Tasiou A, Kapsalaki EZ, Paterakis KN, Grigorian AA, Lee GP, et al. Serum and cerebrospinal fluid C-reactive protein levels as predictors of vasospasm in aneurysmal subarachnoid hemorrhage: Clinical article. *Neurosurg Focus.* mai 2009;26(5):E22.
63. Batista S, Bocanegra-Becerra JE, Claassen B, Rubião F, Rabelo NN, Figueiredo EG, et al. Biomarkers in aneurysmal subarachnoid hemorrhage: A short review. *World Neurosurg X.* juill 2023;19:100205.
64. Chaudhry S, Stoffel-Wagner B, Kinfe T, Güresir E, Vatter H, Dietrich D, et al. Elevated Systemic IL-6 Levels in Patients with Aneurysmal Subarachnoid Hemorrhage Is an Unspecific Marker for Post-SAH Complications. *Int J Mol Sci.* 1 déc 2017;18(12):2580.
65. Ridwan S, Grote A, Simon M. Interleukin 6 in cerebrospinal fluid is a biomarker for delayed cerebral ischemia (DCI) related infarctions after aneurysmal subarachnoid hemorrhage. *Sci Rep.* 8 janv 2021;11:12.

66. Chu XH, Hu HY, Godje ISG, Zhu LJ, Zhu JB, Feng YL, et al. Elevated HMGB1 and sRAGE levels in cerebrospinal fluid of aneurysmal subarachnoid hemorrhage patients. *J Stroke Cerebrovasc Dis.* 1 mai 2023;32(5):107061.
67. Hemmer S, Senger S, Griessenauer CJ, Simgen A, Oertel J, Geisel J, et al. Admission serum high mobility group box 1 (HMGB1) protein predicts delayed cerebral ischemia following aneurysmal subarachnoid hemorrhage. *Neurosurg Rev.* févr 2022;45(1):807-17.